

**МИНИСТЕРСТВО СЕЛЬСКОГО ХОЗЯЙСТВА РОССИЙСКОЙ ФЕДЕРАЦИИ**

Федеральное государственное бюджетное образовательное учреждение  
высшего образования  
**«КУБАНСКИЙ ГОСУДАРСТВЕННЫЙ АГРАРНЫЙ УНИВЕРСИТЕТ  
ИМЕНИ И.Т. ТРУБИЛИНА»**

Факультет прикладной информатики


Кафедра компьютерных систем и технологий

**КУРСОВАЯ РАБОТА**

по дисциплине: Интеллектуальные системы и технологии  
на тему: Определение рейтинга шоколадных баров на основе АСК-анализа  
данных портала Kaggle

Выполнил студент группы: ИТ1941 Каторгин Сергей Владимирович

Допущен к защите: \_\_\_\_\_

Руководитель проекта: д.э.н., к. т. н., профессор Луценко Е.В. (  )  
(подпись, расшифровка подписи)

Защищен 15.02.2021 \_\_\_\_\_  
(дата)

Оценка отлично \_\_\_\_\_

Краснодар 2021

МИНИСТЕРСТВО СЕЛЬСКОГО ХОЗЯЙСТВА РОССИЙСКОЙ ФЕДЕРАЦИИ  
Федеральное государственное бюджетное образовательное учреждение высшего  
образования  
«КУБАНСКИЙ ГОСУДАРСТВЕННЫЙ АГРАРНЫЙ УНИВЕРСИТЕТ ИМЕНИ И.Т.  
ТРУБИЛИНА»

**Факультет прикладной информатики**

**РЕЦЕНЗИЯ**

**на курсовую работу**

Студента Каторгина Сергея Владимировича  
курса 2 очной формы обучения группы ИТ1941  
Направление подготовки 09.04.02 «Информационные системы и технологии»  
Наименование темы «Определение рейтинга шоколадных баров на основе АСК-анализа данных портала Kaggle»

Рецензент: Луценко Евгений Вениаминович, д.э.н., к.т.н., профессор  
(Ф.И.О., ученое звание и степень, должность)

**Оценка качества выполнения курсовой работы**

№ п/п	Показатель	Оценка соответствия («неудовлетворительно», «удовлетворительно», «хорошо», «отлично»)
1	Степень полноты обзора состояния проблемы и корректность постановки цели и задач исследования	5
2	Уровень и корректность использования в работе различных методов исследований	5
3	Степень комплексности работы, применения в ней знаний общепрофессиональных и специальных дисциплин	5
4	Ясность, четкость, последовательность и обоснованность изложения	5
5	Применение современных технологий обработки информации	5
6	Качество оформления работы (общий уровень грамотности, стиль изложения, качество иллюстраций, соответствие требованиям по оформлению)	5
7	Уровень освоения компетенций в результате выполнения курсовой работы (проекта)	5
8	Ответы на вопросы при защите	5

Достоинства работы \_\_\_\_\_

\_\_\_\_\_

Недостатки работы \_\_\_\_\_

\_\_\_\_\_

Итоговая оценка при защите \_\_\_\_\_ отлично \_\_\_\_\_

Рецензент \_\_\_\_\_ (Е.В. Луценко)

« \_\_\_\_\_ »

\_\_\_\_\_ 2021

г.

## РЕФЕРАТ

Курсовая работа содержит: 35 страницы, 29 рисунков, 17 литературных источников.

Ключевые слова: СИСТЕМА ИСКУССТВЕННОГО ИНТЕЛЛЕКТА, AIDOS-X, КОГНИТИВНЫЙ АНАЛИЗ, МОДЕЛИ, ШКАЛЫ, КЛАССЫ.

Целью работы является определение рейтинга шоколадных баров на основе АСК-анализа данных портала Kaggle.

В данной курсовой работе необходимо проанализировать методы формирования обобщенных образов классов и решения задач идентификации конкретных объектов с классами, принятия решений и исследования моделируемой предметной области путем исследования ее модели.

# СОДЕРЖАНИЕ

<b>ВВЕДЕНИЕ</b> .....	<b>5</b>
<b>1. СИНТЕЗ И ВЕРИФИКАЦИЯ МОДЕЛЕЙ</b> .....	<b>6</b>
1.1. ОПИСАНИЕ РЕШЕНИЯ.....	6
1.2. ПРЕОБРАЗОВАНИЕ ИСХОДНЫХ ДАННЫХ ИЗ CSV-ФОРМАТА В ФАЙЛ ИСХОДНЫХ ДАННЫХ MS EXCEL.....	8
1.3. ВВОД ВЫБОРКИ В СИСТЕМУ AIDOS-X.....	9
1.4. СИНТЕЗ И ВЕРИФИКАЦИЯ СТАТИСТИЧЕСКИХ И ИНТЕЛЛЕКТУАЛЬНЫХ МОДЕЛЕЙ .....	13
1.5. ВИДЫ МОДЕЛЕЙ СИСТЕМЫ AIDOS-X .....	14
1.6. РЕЗУЛЬТАТЫ ВЕРИФИКАЦИИ МОДЕЛЕЙ .....	16
<b>2. РЕШЕНИЕ ЗАДАЧ В НАИБОЛЕЕ ДОСТОВЕРНОЙ МОДЕЛИ</b> .....	<b>19</b>
2.1. РЕШЕНИЕ ЗАДАЧИ ИДЕНТИФИКАЦИИ .....	19
2.2. КЛАСТЕРНО-КОНСТРУКТИВНЫЙ АНАЛИЗ .....	23
2.3. НЕЛОКАЛЬНЫЕ НЕЙРОННЫЕ СЕТИ И НЕЙТРОНЫ .....	26
2.4. SWOT И PEST МАТРИЦЫ И ДИАГРАММЫ .....	28
<b>ЗАКЛЮЧЕНИЕ</b> .....	<b>32</b>
<b>СПИСОК ИСПОЛЬЗУЕМЫХ ИСТОЧНИКОВ</b> .....	<b>34</b>

## ВВЕДЕНИЕ

Одним из важных и перспективных направлений развития современных информационных технологий является создание систем искусственного интеллекта. Существует множество альтернатив систем искусственного интеллекта, но возникает необходимость оценки качества математических моделей этих систем. В данной работе рассмотрено решение задачи определения целевого возраста детских книг на основе АСК-анализа данных портала Kaggle.

Для достижения поставленной цели необходимы свободный доступ к тестовым исходным данным и методика, которая поможет преобразовать эти данные в форму, которая необходима для работы в системе искусственного интеллекта. Удачным выбором является сборник баз данных Kaggle.

В данной курсовой работе использована база данных «Highly Rated Children Books And Stories» из банка исходных данных по задачам искусственного интеллекта – Kaggle.

Для решения задачи используем стандартные возможности MS Office Word и Excel, а также систему искусственного интеллекта "Aidos-X++".

# 1. СИНТЕЗ И ВЕРИФИКАЦИЯ МОДЕЛЕЙ

## 1.1. Описание решения

В качестве метода исследования, решения проблемы и достижения цели было решено использовать новый метод искусственного интеллекта: Автоматизированный системно-когнитивный анализ или АСК-анализ.

Основной причиной выбора АСК-анализа является то, что он включает теорию и метод количественного выявления в сопоставимой форме силы и направления причинно-следственных зависимостей в неполных зашумленных данных очень большой размерности числовой и не числовой природы, измеряемых в различных типах шкал и единицах измерения.

Очень важным является также то, что АСК-анализ имеет свой развитый и доступный программный инструментарий, в качестве которого в настоящее время выступает Универсальная когнитивная аналитическая система Aidos-X.

Преимущества данной системы:

- универсальность;
- доступность, то есть данная система находится в полном открытом бесплатном доступе, причем с актуальными исходными текстам;
- одна из первых отечественных систем искусственного интеллекта персонального уровня, т.е. она не требует от пользователя специальной подготовки в области технологий искусственного интеллекта (акт внедрения системы Aidos-X 1987 года);
- обеспечивает устойчивое выявление в сопоставимой форме силы и направления причинно-следственных зависимостей в неполных зашумленных взаимозависимых (нелинейных) данных очень большой размерности числовой и не числовой природы, измеряемых в различных типах шкал (номинальных, порядковых и числовых) и в различных единицах измерения;

- содержит большое количество локальных и облачных учебных и научных приложений (в настоящее время их 31 и 251, соответственно);
- мультязычная поддержка интерфейса (больше 50 языков);
- поддерживает online среду накопления знаний и широко используется во всем мире;
- наиболее трудоемкие в вычислительном отношении операции синтеза моделей и распознавания реализует с помощью графического процессора (GPU), что на некоторых задачах обеспечивает ускорение решения этих задач в несколько тысяч раз;
- обеспечивает преобразование исходных эмпирических данных в информацию, а ее в знания и решение задач классификации, поддержки принятия решений и исследования предметной области путем исследования ее системно-когнитивной модели, генерируя при этом очень большое количество табличных и графических выходных форм (развития когнитивная графика), у многих из которых нет никаких аналогов в других системах (примеры форм можно посмотреть в работе);
- хорошо имитирует человеческий стиль мышления: дает результаты анализа, понятные экспертам на основе их опыта, интуиции и профессиональной компетенции.

В соответствии с методологией АСК-анализа решение поставленной задачи проведем в четыре этапа:

1. Преобразование исходных данных из csv-формата в промежуточные файлы MS Excel.
2. Преобразование исходных данных из промежуточных файлов MS Excel в базы данных системы Aidos-X.
3. Синтез и верификация моделей предметной области.
4. Применение моделей для решения задач идентификации, прогнозирования и исследования предметной области.

## 1.2. Преобразование исходных данных из CSV-формата в файл исходных данных MS Excel

С электронного ресурса [kaggle.com](https://www.kaggle.com/rtatman/chocolate-bar-ratings) возьмем набор данных «Chocolate Bar Ratings» <https://www.kaggle.com/rtatman/chocolate-bar-ratings>

Csv файл содержит следующие данные:

Company – компания;

Specific Bean Origin or Bar Name – конкретное происхождение боба или название бара;

Review Date – дата рассмотрения;

Cocoa Percent – процент какао;

Company Location – местоположение компании;

Rating – рейтинг;

В качестве разделителей используются запятые.

Для конвертации csv-файла в xls был использован онлайн конвертер: <https://document.online-convert.com/ru/convert/csv-to-excel>

После конвертации необходимо добавить еще один столбец, в данном случае было решено дублировать столбец, содержащий наименования компаний и размещен в таблице между столбцами «Specific Bean Origin or Bar Name» и «Review Date» (Рисунок 1).

	A	B	C	D	E	F	G
1	known)	Bar Name	Company (Maker-if kn	Date	Percent	Company Location	Rating
2	A. Morin	Agua Grande	A. Morin	2016	63%	France	3,75
3	A. Morin	Kpime	A. Morin	2015	70%	France	2,75
4	A. Morin	Atsane	A. Morin	2015	70%	France	3
5	A. Morin	Akata	A. Morin	2015	70%	France	3,5
6	A. Morin	Quilla	A. Morin	2015	70%	France	3,5
7	A. Morin	Carenero	A. Morin	2014	70%	France	2,75
8	A. Morin	Cuba	A. Morin	2014	70%	France	3,5
9	A. Morin	Sur del Lago	A. Morin	2014	70%	France	3,5
10	A. Morin	Puerto Cabello	A. Morin	2014	70%	France	3,75
11	A. Morin	Pablino	A. Morin	2014	70%	France	4
12	A. Morin	Panama	A. Morin	2013	70%	France	2,75
13	A. Morin	Madagascar	A. Morin	2013	70%	France	3
14	A. Morin	Brazil	A. Morin	2013	70%	France	3,25
15	A. Morin	Equateur	A. Morin	2013	70%	France	3,75
16	A. Morin	Colombie	A. Morin	2013	70%	France	2,75
17	A. Morin	Birmanie	A. Morin	2013	70%	France	3
18	A. Morin	Papua New Guinea	A. Morin	2013	70%	France	3,25
19	A. Morin	Chuao	A. Morin	2013	70%	France	4
20	A. Morin	Piura	A. Morin	2013	70%	France	3,25
21	A. Morin	Chanchamayo Province	A. Morin	2013	70%	France	3,5
22	A. Morin	Chanchamayo Province	A. Morin	2013	63%	France	4
23	A. Morin	Bolivia	A. Morin	2012	70%	France	3,5
24	A. Morin	Peru	A. Morin	2012	63%	France	3,75
25	Acalli	Chulucanas, El Platanal	Acalli	2015	70%	U.S.A.	3,75
26	Acalli	Tumbes, Norandino	Acalli	2015	70%	U.S.A.	3,75
27	Adi	Vanua Levu	Adi	2011	60%	Fiji	2,75
28	Adi	Vanua Levu, Toto-A	Adi	2011	80%	Fiji	3,25
29	Adi	Vanua Levu	Adi	2011	88%	Fiji	3,5
30	Adi	Vanua Levu, Ami-Ami	Adi	2011	72%	Fiji	3,5

Рисунок 1 - Фрагмент обучающей выборки



Таким образом, в качестве классификационной шкалы решено использовать столбец В «Specific Bean Origin or Bar Name». Описательные шкалы столбцы С и Е с наименованием «Company» и «Cocoa Percent» соответственно.

### 1.3. Ввод выборки в систему Aidos-X

Теперь, когда имеется обучающая выборка в формате \*.xls, можно импортировать ее в систему Aidos-X.

Скопируем данную выборку в папку Inp\_data и переименуем ее в Inp\_data. Далее был использован универсальный программный интерфейс импорта данных в систему Aidos-X (режим 2.3.2.2), результат заполнения данной формы представлен на рисунке 2.

Рисунок 2 - Ввод обучающей выборки

Стоит отметить следующие настройки:

- Тип файла – xls;
- Классификационные шкалы – 2;
- Описательные шкалы – 3-7;
- Применяется спец. интерпретация текстовых полей признаков;
- В качестве признаков рассматриваются слова, без проведения лемитизации.

В форме задания размерности модели системы оставляем всё без изменений (Рисунок 3).



Рисунок 3 - Задание размерности модели системы Aidos-X

Процесс импорта данных из внешней БД "Inp\_data.xls" в систему Aidos-X представлен на рисунке 4.

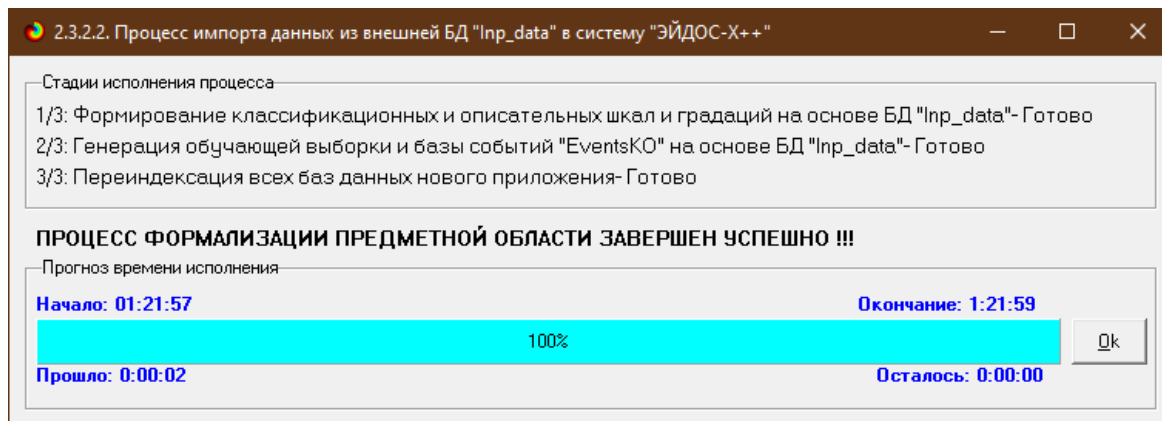


Рисунок 4 – Процесс импорта данных

Так как предварительно числовые шкалы были разбиты на интервалы, то перерасчет шкал после ввода выборки производить не надо. После импорта автоматически формируются классификационные и описательные шкалы, с применением которых исходные данные кодируются и представляются в форме эвентологических баз данных. Тем самым этап формализации предметной области выполняется полностью автоматизировано.

Классификационная шкала представлена на рисунке 5, её можно просмотреть в режиме 2.1. Описательные шкалы – в режиме 2.2 (рисунок 6).

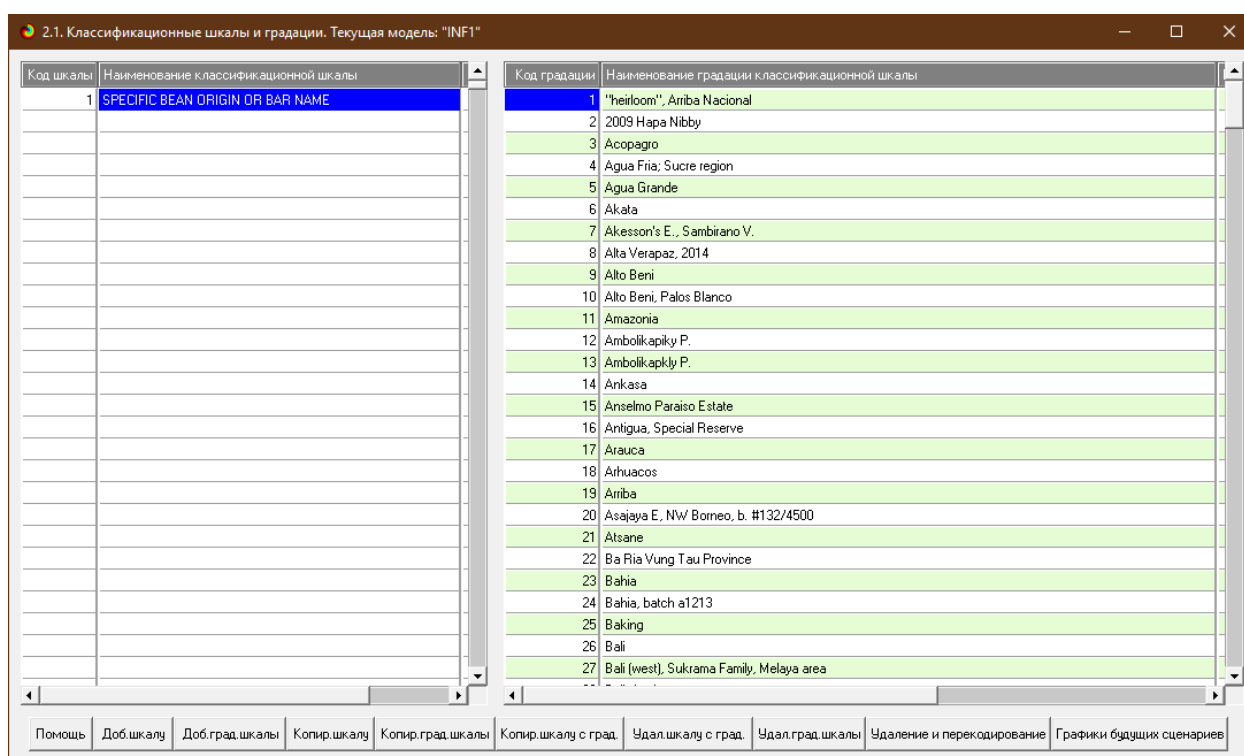


Рисунок 5 - Классификационные шкалы и градации

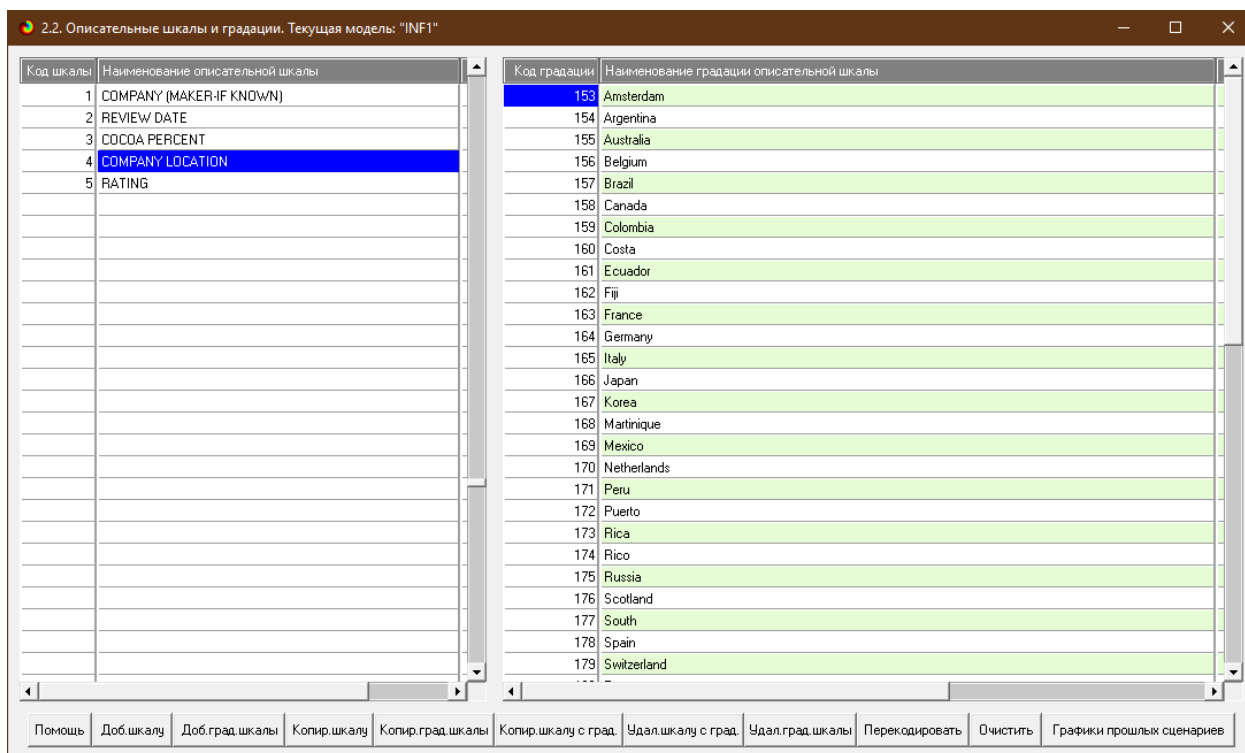


Рисунок 6 - Описательные шкалы и градации (фрагмент)

Для ручного ввода-корректировки обучающей выборки существует режим 2.3.1, он представлен на рисунке 7. Установка значений описательных и классификационных шкал объектов осуществляется по их номерам.

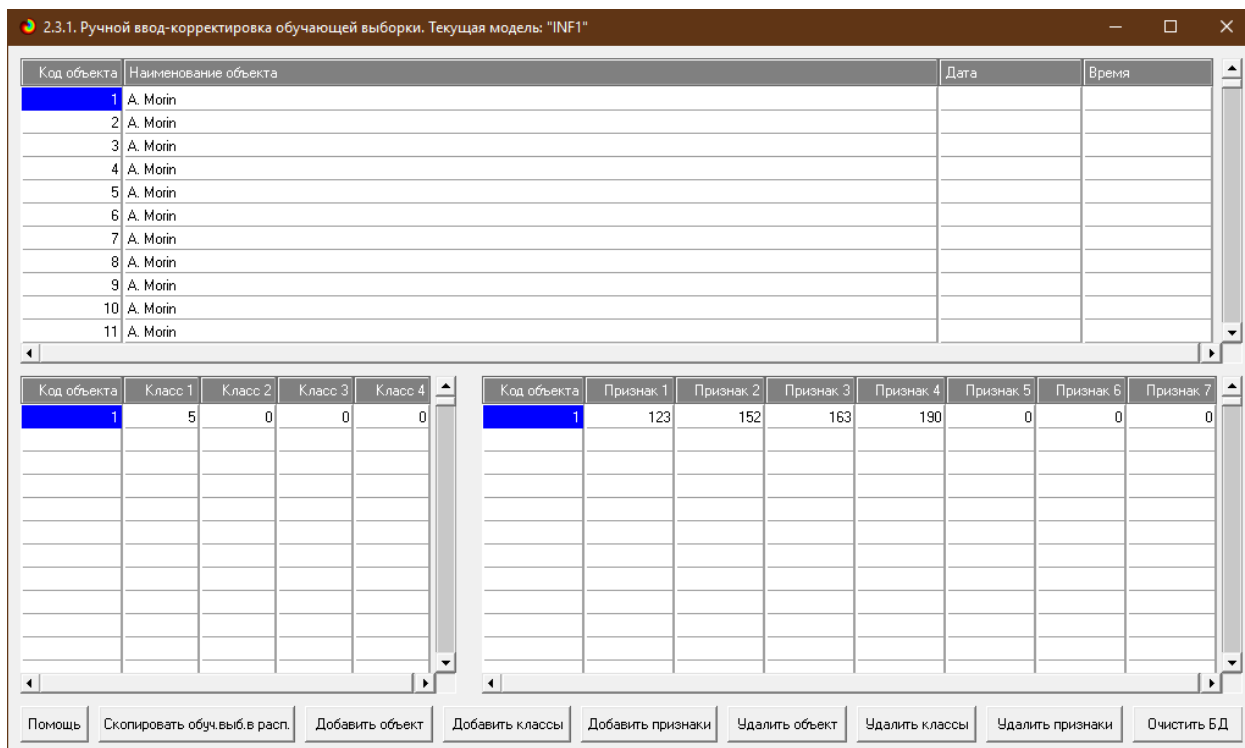


Рисунок 7 - Обучающая выборка (фрагмент)

Тем самым создаются все необходимые и достаточные предпосылки для выявления силы и направления причинно-следственных связей между значениями факторов и результатами их совместного системного воздействия (с учетом нелинейности системы).

## 1.4. Синтез и верификация статистических и интеллектуальных моделей

Далее запускаем режим 3.5, в котором задаются модели для синтеза и верификации, а также задается модель, которой по окончании режима присваивается статус текущей (рисунок 8).

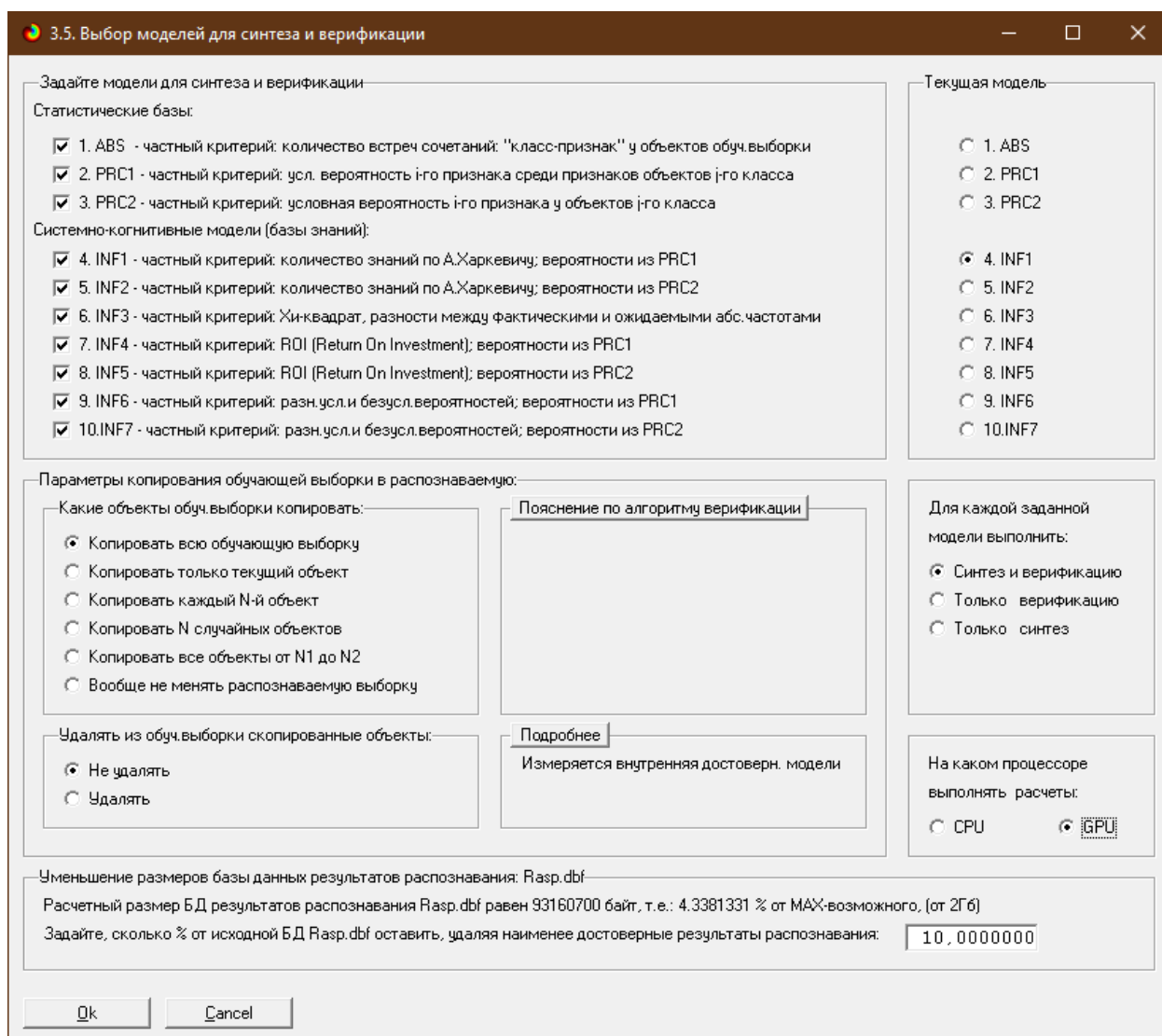


Рисунок 8 - Выбор моделей для синтеза и верификации

В данном режиме имеется много различных методов верификации моделей. Но мы используем параметры, приведенные на рисунке 8. Стадия процесса исполнения режима 3.5 и прогноз времени его окончания отображаются на экранной форме, приведенной на рисунке 8.

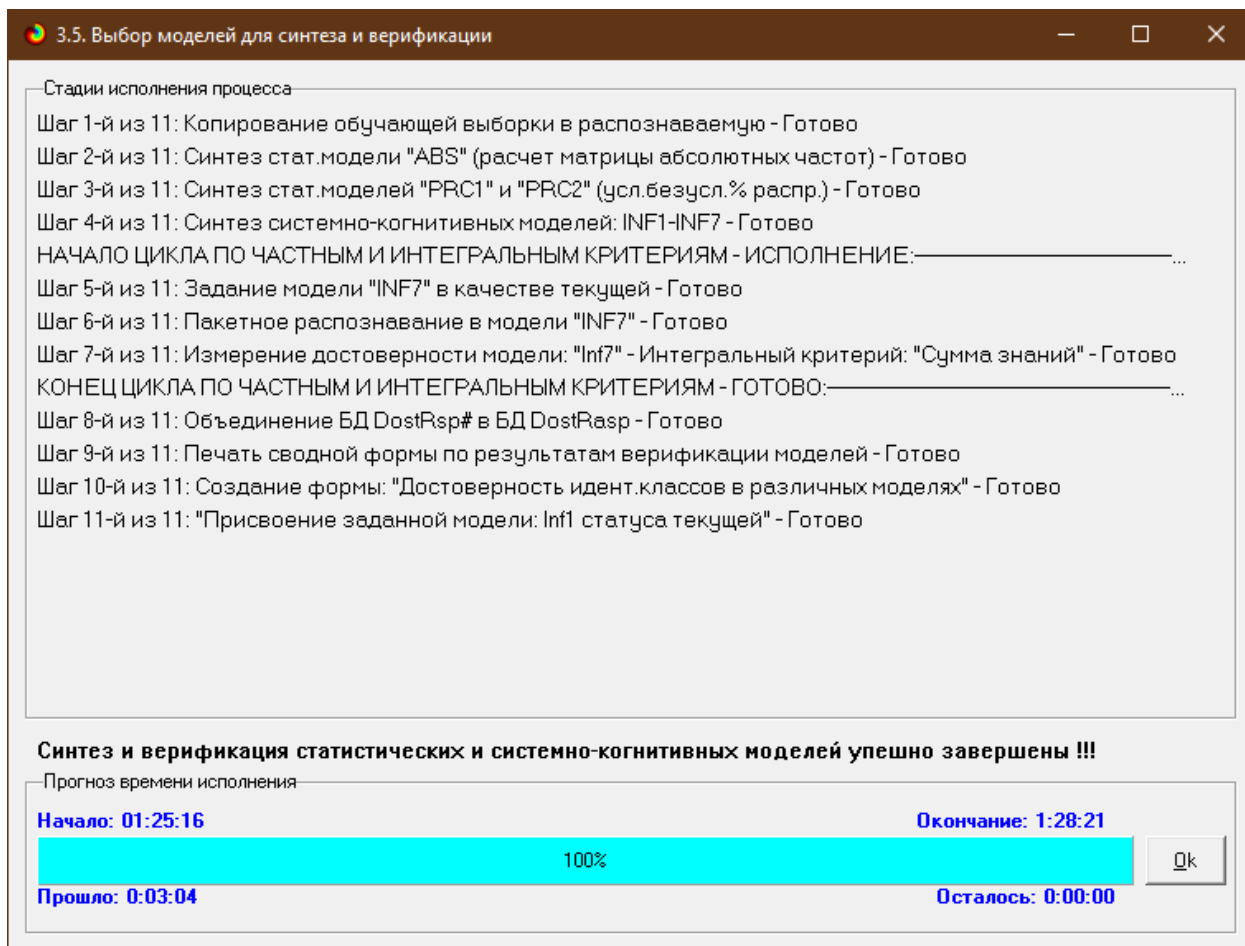


Рисунок 8 - Процесс исполнения режима 3.5

Интересно заметить (см. рисунок 8), что синтез и верификация всех 10 моделей на данной задаче заняли 3 минуты 4 секунды. При этом оценка достоверности моделей проводилась на 50 примерах наблюдения из обучающей выборки. После этого можно перейти непосредственно к выбору наиболее достоверной модели.

### 1.5. Виды моделей системы Aidos-X

Рассмотрим решение задачи идентификации на примере нескольких моделей, в которой рассчитано количество информации по А. Харкевичу,

которое было получено по принадлежности идентифицируемого объекта к каждому из классов, если известно, что у этого объекта есть некоторый признак.

То есть частные критерии представляют собой просто формулы для преобразования матрицы абсолютных частот (рисунок 9) в матрицы условных и безусловных процентных распределений, и матрицы знаний (рисунок 10 и 11).

5.5. Модель: "1. ABS - частный критерий: количество встреч сочетаний "Класс-признак" у объектов обучающей выборки"

Код признака	Наименование описательной шкалы и градации	20. SPECIFIC BEAN ORIGIN OR BAR NAME AJAYA NW PNEO.	21. SPECIFIC BEAN ORIGIN OR BAR NAME ATSANE	22. SPECIFIC BEAN ORIGIN OR BAR NAME BARI VUNG TAU PROVINCE	23. SPECIFIC BEAN ORIGIN OR BAR NAME BAHIA	24. SPECIFIC BEAN ORIGIN OR BAR NAME BAHIA, BATCH A1213	25. SPECIFIC BEAN ORIGIN OR BAR NAME BAKING	26. SPECIFIC BEAN ORIGIN OR BAR NAME BALI	27. SPECIFIC BEAN ORIGIN OR BAR NAME BALI (WEST), SUKRAMA FAMILY, MELAYA AREA	28. SPECIFIC BEAN ORIGIN OR BAR NAME BALI, JEMBRANA	29. SPECIFIC BEAN ORIGIN OR BAR NAME BALI, SINGARAJA	30. SPECIFIC BEAN ORIGIN OR BAR NAME BALI, SUKRAMA BROS. FARM, MELAYA, 62HR C
19	COMPANY (MAKER-IF KNOWN)Arete											
20	COMPANY (MAKER-IF KNOWN)Artisan			1				1				
21	COMPANY (MAKER-IF KNOWN)Askinosie											
22	COMPANY (MAKER-IF KNOWN)Atlanta											
23	COMPANY (MAKER-IF KNOWN)Bahen				1							
24	COMPANY (MAKER-IF KNOWN)Bakau											
25	COMPANY (MAKER-IF KNOWN)Bandana											
26	COMPANY (MAKER-IF KNOWN)Baravell's											
27	COMPANY (MAKER-IF KNOWN)Barry											
28	COMPANY (MAKER-IF KNOWN)Batch											
29	COMPANY (MAKER-IF KNOWN)Beau	1										
30	COMPANY (MAKER-IF KNOWN)Beehive											
31	COMPANY (MAKER-IF KNOWN)Belcolade											
32	COMPANY (MAKER-IF KNOWN)Bellflower											
33	COMPANY (MAKER-IF KNOWN)Belyzium											
34	COMPANY (MAKER-IF KNOWN)Bend											
35	COMPANY (MAKER-IF KNOWN)Beverly											1

Рисунок 9 - Матрица абсолютных частот (модель ABS) и условных и безусловных процентных распределений

5.5. Модель: "7. INF4 - частный критерий: ROI (Return On Investment); вероятности из PRC1"

Код признака	Наименование описательной шкалы и градации	3. SPECIFIC BEAN ORIGIN OR BAR NAME ACDPAGRO	4. SPECIFIC BEAN ORIGIN OR BAR NAME AGUA FRIA SUCRE REGION	5. SPECIFIC BEAN ORIGIN OR BAR NAME AGUA GRANDE	6. SPECIFIC BEAN ORIGIN OR BAR NAME AKATA	7. SPECIFIC BEAN ORIGIN OR BAR NAME AKESSON'S E. SAMBIRANO V.	8. SPECIFIC BEAN ORIGIN OR BAR NAME ALTA VERAPAZ, 2014	9. SPECIFIC BEAN ORIGIN OR BAR NAME ALTO BENI	10. SPECIFIC BEAN ORIGIN OR BAR NAME ALTO BENI, PALOS BLANCO	11. SPECIFIC BEAN ORIGIN OR BAR NAME AMAZONIA	12. SPECIFIC BEAN ORIGIN OR BAR NAME AMBOLIKAPIKY P.
17	COMPANY (MAKER-IF KNOWN)Animas							666.667			
18	COMPANY (MAKER-IF KNOWN)Arabuco										
19	COMPANY (MAKER-IF KNOWN)Arete										
20	COMPANY (MAKER-IF KNOWN)Artisan	17.546									
21	COMPANY (MAKER-IF KNOWN)Askinosie										
22	COMPANY (MAKER-IF KNOWN)Atlanta										
23	COMPANY (MAKER-IF KNOWN)Bahen										
24	COMPANY (MAKER-IF KNOWN)Bakau										
25	COMPANY (MAKER-IF KNOWN)Bandana					82.458					
26	COMPANY (MAKER-IF KNOWN)Baravell's										
27	COMPANY (MAKER-IF KNOWN)Barry										
28	COMPANY (MAKER-IF KNOWN)Batch										
29	COMPANY (MAKER-IF KNOWN)Beau										
30	COMPANY (MAKER-IF KNOWN)Beehive										
31	COMPANY (MAKER-IF KNOWN)Belcolade										
32	COMPANY (MAKER-IF KNOWN)Bellflower								221.556		
33	COMPANY (MAKER-IF KNOWN)Belyzium										

Рисунок 10 - Модель INF4 (фрагмент)

Код признака	Наименование описательной шкалы и градации	27. SPECIFIC BEAN ORIGIN OR BAR NAME BALI (WEST), SUKRAMA FAMILY, MELAYA AREA	28. SPECIFIC BEAN ORIGIN OR BAR NAME BALI, JEMBRANA	29. SPECIFIC BEAN ORIGIN OR BAR NAME BALI, SINGARAJA	30. SPECIFIC BEAN ORIGIN OR BAR NAME BALI, SUKRAMA BROS. FARM, MELAYA, 62HR C	31. SPECIFIC BEAN ORIGIN OR BAR NAME BAMBAMARCA, 2015	32. SPECIFIC BEAN ORIGIN OR BAR NAME BARACODA	33. SPECIFIC BEAN ORIGIN OR BAR NAME BELIZE	34. SPECIFIC BEAN ORIGIN OR BAR NAME BELIZE SOUTH	35. SPECIFIC BEAN ORIGIN OR BAR NAME BELIZE SOUTH, LOW FERTMENTATION	36. SPECIFIC BEAN ORIGIN OR BAR NAME BELLAVISTA GRAN PAJETA, SAN MARTIN
3	COMPANY (MAKER-IF KNOWN)Alesson's	165.000									
4	COMPANY (MAKER-IF KNOWN)Alain										
5	COMPANY (MAKER-IF KNOWN)Alchemist										
6	COMPANY (MAKER-IF KNOWN)Alexandre										
7	COMPANY (MAKER-IF KNOWN)Alrus										
8	COMPANY (MAKER-IF KNOWN)Amano		54.333								
9	COMPANY (MAKER-IF KNOWN)Amaro										
10	COMPANY (MAKER-IF KNOWN)Amatler										
11	COMPANY (MAKER-IF KNOWN)Amazona										248.000
12	COMPANY (MAKER-IF KNOWN)Ambrosia							26.667			
13	COMPANY (MAKER-IF KNOWN)Amedei										
14	COMPANY (MAKER-IF KNOWN)AMMA										
15	COMPANY (MAKER-IF KNOWN)Amor										
16	COMPANY (MAKER-IF KNOWN)Anahata										
17	COMPANY (MAKER-IF KNOWN)Animas										
18	COMPANY (MAKER-IF KNOWN)Arabuco										
19	COMPANY (MAKER-IF KNOWN)Arita										

Рисунок 11 - Модель INF5 (фрагмент)

## 1.6. Результаты верификации моделей

Результаты верификации моделей, отличающихся частными критериями с двумя приведенными выше интегральными критериями представлены на рисунке 12.

Наименование модели и частного критерия	Интегральный критерий	ложно-зательный (FN)	Точность модели	Полнота модели	F-мера Ван Ризбергера	Сумма модул. уровней сход. истинно-поло. решений (STP)	Сумма модул. уровней сход. истинно-отриц. решений (STN)	Сумма модул. уровней сход. ложно-полож. решений (SFP)	Сумма модул. уровней сход. ложно-отрицат. решений (SFN)	S-Точность модели	S-Полнота модели	L1-мера проф. Е.В. Луценко
1. ABS - частный критерий: количество встреч сочетаний "и,лас...	Корреляция абс частот с обр...		0.062	1.000	0.116	406.009	180.916	2082.798		0.163	1.000	0.281
1. ABS - частный критерий: количество встреч сочетаний "и,лас...	Сумма абс частот по признак...		0.062	1.000	0.116	184.067		822.600		0.183	1.000	0.309
2. PRC1 - частный критерий: усл. вероятность его признака сред...	Корреляция усл отн частот с о...		0.062	1.000	0.116	406.009	180.916	2082.798		0.163	1.000	0.281
2. PRC1 - частный критерий: усл. вероятность его признака сред...	Сумма усл отн частот по при...		0.062	1.000	0.116	360.258		2077.773		0.148	1.000	0.257
3. PRC2 - частный критерий: условная вероятность его признака...	Корреляция усл отн частот с о...		0.062	1.000	0.116	406.009	180.916	2082.798		0.163	1.000	0.281
3. PRC2 - частный критерий: условная вероятность его признака...	Сумма усл отн частот по при...		0.062	1.000	0.116	241.372		1342.993		0.152	1.000	0.264
4. INF1 - частный критерий: количество знаний по АХаркевичу; в...	Семантический резонанс: зна...	2	0.068	0.996	0.127	350.991	193.651	193.651	0.052	0.238	1.000	0.385
4. INF1 - частный критерий: количество знаний по АХаркевичу; в...	Сумма знаний		0.064	1.000	0.120	181.149	4.175	544.503		0.250	1.000	0.400
5. INF2 - частный критерий: количество знаний по АХаркевичу; в...	Семантический резонанс: зна...	2	0.067	0.996	0.126	350.217	191.606	1106.045	0.047	0.240	1.000	0.388
5. INF2 - частный критерий: количество знаний по АХаркевичу; в...	Сумма знаний		0.064	1.000	0.120	166.825	3.342	491.131		0.254	1.000	0.405
6. INF3 - частный критерий: Хинкварт, разности между фактич...	Семантический резонанс: зна...	3	0.070	0.994	0.131	380.411	1202.687	1287.195	0.073	0.228	1.000	0.371
6. INF3 - частный критерий: Хинкварт, разности между фактич...	Сумма знаний		0.070	0.994	0.131	165.682	452.743	437.099	0.082	0.275	1.000	0.431
7. INF4 - частный критерий: ROI (Return On Investment); вероят...	Семантический резонанс: зна...	6	0.102	0.988	0.186	278.311	177.740	498.016	0.085	0.358	1.000	0.528
7. INF4 - частный критерий: ROI (Return On Investment); вероят...	Сумма знаний		0.064	1.000	0.120	46.813	0.062	38.342		0.550	1.000	0.789
8. INF5 - частный критерий: ROI (Return On Investment); вероят...	Семантический резонанс: зна...	6	0.104	0.988	0.187	278.064	177.130	494.007	0.082	0.360	1.000	0.530
8. INF5 - частный критерий: ROI (Return On Investment); вероят...	Сумма знаний		0.064	1.000	0.120	33.160	0.036	25.165		0.569	1.000	0.725
9. INF6 - частный критерий: разн усли безул.вероятностей; вер...	Семантический резонанс: зна...	6	0.065	0.988	0.122	389.439	212.532	1703.578	0.255	0.186	0.999	0.314
9. INF6 - частный критерий: разн усли безул.вероятностей; вер...	Сумма знаний		0.064	0.994	0.120	314.129	6.721	1579.474	0.022	0.166	1.000	0.285
10. INF7 - частный критерий: разн усли безул.вероятностей; ве...	Семантический резонанс: зна...	5	0.065	0.990	0.121	389.680	209.889	1698.771	0.145	0.187	1.000	0.314
10. INF7 - частный критерий: разн усли безул.вероятностей; ве...	Сумма знаний		0.064	0.996	0.120	217.549	3.996	1041.152	0.001	0.173	1.000	0.295

Рисунок 12 - Оценки достоверности моделей

Наиболее достоверной в данном приложении оказалась модель INF5 при интегральной критерии «Сумма знаний». При этом точность модели (F-мера Ван Ризбергера) составляет 0,120 а точность модели (L1-мера профессора Луценко) - 0,725. L1-мера профессора Луценко является более



достоверной, по сравнению с F-мерой Ван Ризбергена. Таким образом, уровень достоверности прогнозирования с применением модели выше, чем экспертных оценок, достоверность которых считается равной примерно 100%. Для оценки достоверности моделей в АСК-анализе и системе Aidos-X используется F-мера Ван Ризбергена и L-мера, представляющая собой ее нечеткое мультиклассовое обобщение, предложенное профессором Е.В.Луценко (рисунок 13).

Помощь по режимам: 3.4, 4.1.3.6, 4.1.3.7, 4.1.3.8, 4.1.3.10: Виды прогнозов и меры достоверности моделей в системе "Эйдос-X++"

**ПОЛОЖИТЕЛЬНЫЙ ПСЕВДОПРОГНОЗ.**  
Предположим, модель дает такой прогноз: выпадет 1, 2, 3, 4, 5 или 6. В этом случае у нее будет 100% достоверность идентификации, т.е. не будет ни одного объекта, не отнесенного к тому классу, к которому он действительно относится, но при этом будет очень большая ошибка ложной идентификации, т.к. огромное количество объектов будет отнесено к классам, к которым они не относятся (и именно за счет этого у модели и будет очень высокая достоверность идентификации). Ясно, что такой прогноз бесполезен, поэтому он и назван мной псевдопрогнозом.

**ОТРИЦАТЕЛЬНЫЙ ПСЕВДОПРОГНОЗ.**  
Представим себе, что мы выбрасываем кубик с 6 гранями, и модель предсказывает, что не выпадет: 1, 2, 3, 4, 5 и 6, а что-то из этого естественно выпало. Конечно, модель дает ошибку в прогнозе в том плане, что не предсказала, что выпадет, зато она очень хорошо угадала, что не выпадет. Но ясно, что выпадет что-то одно, а не все, что предсказано, поэтому такого рода предсказания хорошо оправдываются в том, что не произошло и плохо в том, что произошло, т.е. в этом случае у модели будет 100% достоверность не идентификации, но очень низкая достоверность идентификации.

**ИДЕАЛЬНЫЙ ПРОГНОЗ.**  
Если в случае с кубиком мы прогнозируем, что выпадет, например 1, и соответственно прогнозируем, что не выпадет 2, 3, 4, 5 и 6, то это идеальный прогноз, имеющий, если он осуществляется, 100% достоверность идентификации и не идентификации. Идеальный прогноз, который полностью снимает неопределенность о будущем состоянии объекта прогнозирования, на практике удается получить крайне редко и обычно мы имеем дело с реальным прогнозом.

**РЕАЛЬНЫЙ ПРОГНОЗ.**  
На практике мы чаще всего сталкиваемся именно с этим видом прогноза. Реальный прогноз уменьшает неопределенность о будущем состоянии объекта прогнозирования, но не полностью, как идеальный прогноз, а оставляет некоторую неопределенность не снятой. Например, для игрового кубика делается такой прогноз: выпадет 1 или 2, и, соответственно, не выпадет 3, 4, 5 или 6. Понятно, что полностью на практике такой прогноз не может осуществиться, т.к. варианты выпадения кубика альтернативны, т.е. не может выпасть одновременно и 1, и 2. Поэтому у реального прогноза всегда будет определенная ошибка идентификации. Соответственно, если не осуществится один или несколько из прогнозируемых вариантов, то возникнет и ошибка не идентификации, т.к. это не прогнозировалось моделью. Теперь представьте себе, что у Вас не 1 кубик и прогноз его поведения, а тысяча. Тогда можно посчитать средневзвешенные характеристики всех этих видов прогнозов.

Таким образом, если просуммировать число верно идентифицированных и не идентифицированных объектов и вычесть число ошибочно идентифицированных и не идентифицированных объектов, а затем разделить на число всех объектов то это и будет критерий качества модели (классификатора), учитывающий как ее способность верно относить объекты к классам, которым они относятся, так и ее способность верно не относить объекты к тем классам, к которым они не относятся. Этот критерий предложен и реализован в системе "Эйдос" проф. Е.В.Луценко в 1994 году. Эта мера достоверности модели предполагает два варианта нормировки:  $\{-1, +1\}$  и  $\{0, 1\}$ :

$$L_a = \frac{TP + TN - FP - FN}{TP + TN + FP + FN} \quad (\text{нормировка: } \{-1, +1\})$$

$$L_b = \frac{1 + (TP + TN - FP - FN)}{2 + (TP + TN + FP + FN)} \quad (\text{нормировка: } \{0, 1\})$$

где количество: TP - истинно-положительных решений; TN - истинно-отрицательных решений; FP - ложно-положительных решений; FN - ложно-отрицательных решений;

Классическая F-мера достоверности моделей Ван Ризбергена (колонка выделена ярко-голубым фоном):  
 $F\text{-мера} = 2 * (\text{Precision} * \text{Recall}) / (\text{Precision} + \text{Recall})$  - достоверность модели  
Precision =  $TP / (TP + FP)$  - точность модели;  
Recall =  $TP / (TP + FN)$  - полнота модели;

L1-мера проф.Е.В.Луценко - нечеткое мультиклассовое обобщение классической F-меры с учетом СУММ уровней сходства (колонка выделена ярко-зеленым фоном):  
 $L1\text{-мера} = 2 * (\text{SPrecision} * \text{SRecall}) / (\text{SPrecision} + \text{SRecall})$   
SPrecision =  $STP / (STP + SFP)$  - точность с учетом сумм уровней сходства;  
SRecall =  $STP / (STP + SFN)$  - полнота с учетом сумм уровней сходства;  
STP - Сумма модулей сходства истинно-положительных решений; STN - Сумма модулей сходства истинно-отрицательных решений;  
SFP - Сумма модулей сходства ложно-положительных решений; SFN - Сумма модулей сходства ложно-отрицательных решений.

L2-мера проф.Е.В.Луценко - нечеткое мультиклассовое обобщение классической F-меры с учетом СРЕДНИХ уровней сходства (колонка выделена желтым фоном):  
 $L2\text{-мера} = 2 * (\text{APrecision} * \text{ARecall}) / (\text{APrecision} + \text{ARecall})$   
APrecision =  $ATP / (ATP + AFP)$  - точность с учетом средних уровней сходства;  
ARecall =  $ATP / (ATP + AFN)$  - полнота с учетом средних уровней сходства;  
ATP =  $STP / TP$  - Среднее модулей сходства истинно-положительных решений; AFN =  $SFN / FN$  - Среднее модулей сходства истинно-отрицательных решений;  
AFP =  $SFP / FP$  - Среднее модулей сходства ложно-положительных решений; AFN =  $SFN / FN$  - Среднее модулей сходства ложно-отрицательных решений.

Строки с максимальными значениями F-меры, L1-меры и L2-меры выделены фоном цвета, соответствующего колонке.

Из графиков частотных распределений истинно-положительных, истинно-отрицательных, ложно-положительных и ложно-отрицательных решений видно, что чем выше модуль уровня сходства, тем больше доля истинных решений. Значит модуль уровня сходства является адекватной мерой степени истинности решения и уверенности системы в этом решении.

Луценко Е.В. Инвариантное относительно объемов данных нечеткое мультиклассовое обобщение F-меры достоверности моделей Ван Ризбергена в АСК-анализе и системе "Эйдос" / Е.В. Луценко // Политематический сетевой электронный научный журнал Кубанского государственного аграрного университета (Научный журнал КубГАУ) [Электронный ресурс]. - Краснодар: КубГАУ, 2017. - №02(126). С. 1 - 32. - IDA [article ID]: 1261702001. - Режим доступа: <http://ej.kubagro.ru/2017/02/pdf/01.pdf>; 2 у.п.л.

Рисунок 13- Виды прогнозов и принцип определения достоверности моделей по авторскому варианту метрики, сходной с F-критерием

Также необходимо обратить внимание на то, что статистические модели, как правило, дают более низкую средневзвешенную достоверность идентификации и не идентификации, чем модели знаний, и практически никогда – более высокую. Этим и оправдано применение моделей знаний и 21 интеллектуальных технологий. На рисунке 14 приведены частные распределения уровней сходства и различия для верно и ошибочно идентифицированных и не идентифицированных ситуаций в наиболее достоверной модели ABS.

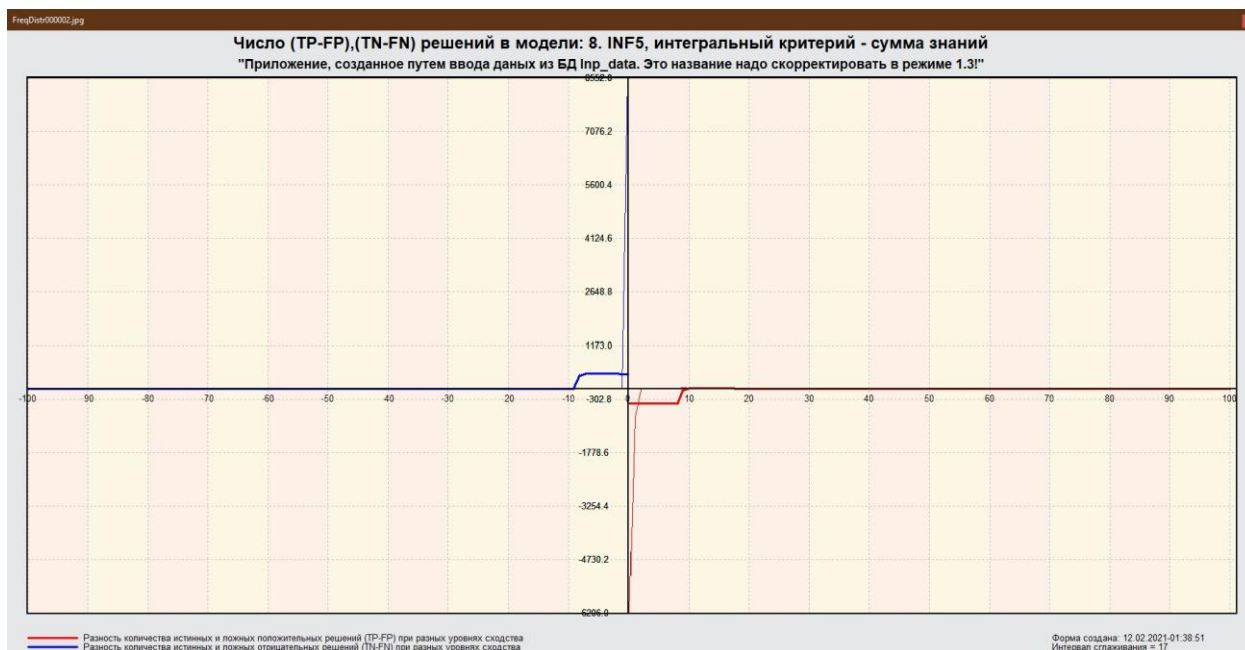
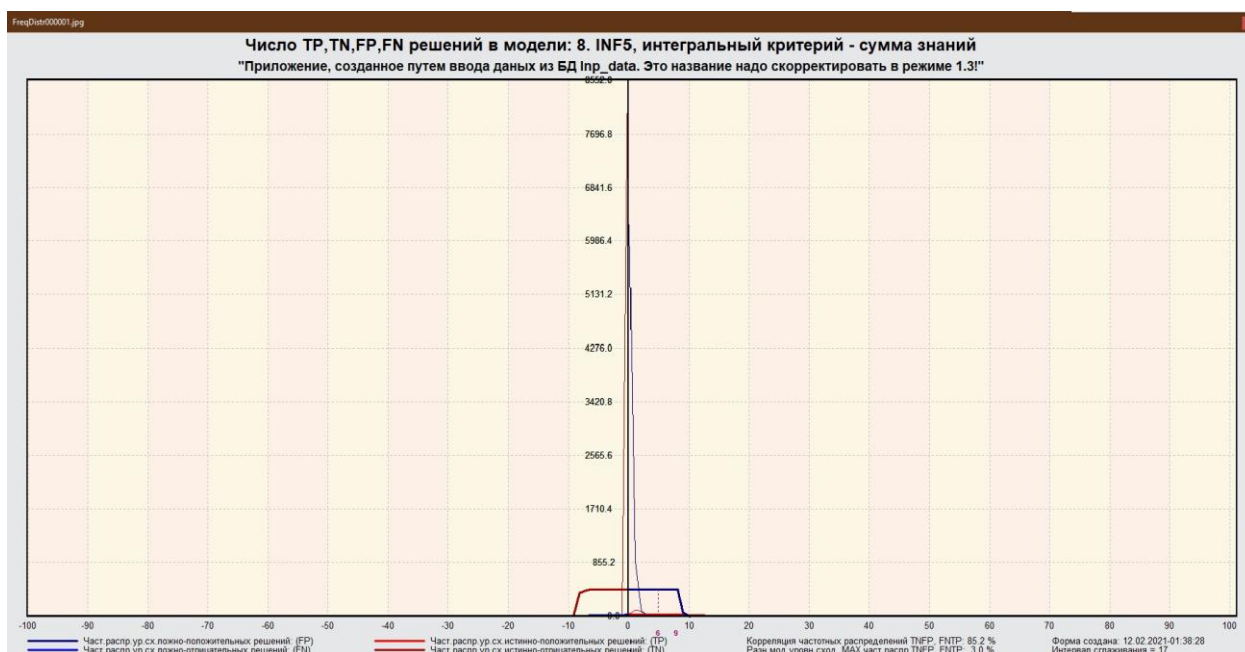


Рисунок 14 - Частотные распределения числа верно и ошибочно идентифицированных и не идентифицированных состояний объекта моделирования в зависимости от уровня сходства в модели INF5

Из рисунка 14 видно, что:

– наиболее модель INF5 лучше определяет непринадлежность объекта к классу, чем принадлежность;

– модуль уровня сходства-различия в модели INF5 для верно идентифицированных и верно не идентифицированных объектов значительно выше, чем для ошибочно идентифицированных и ошибочно не идентифицированных. Это верно практически для всего диапазона уровней сходства-различия, кроме небольших по модулю значений в диапазоне от 0 до 20% уровня сходства. Для уровней сходства-различия более 25% ошибочно идентифицированные и не идентифицированными ситуации практически отсутствуют.

## **2. РЕШЕНИЕ ЗАДАЧ В НАИБОЛЕЕ ДОСТОВЕРНОЙ МОДЕЛИ**

### **2.1. Решение задачи идентификации**

В соответствии с технологией АСК-анализа зададим текущей модель ABS (режим 5.6) (рисунок 15) и проведем пакетное распознавание в режиме 4.1.2.

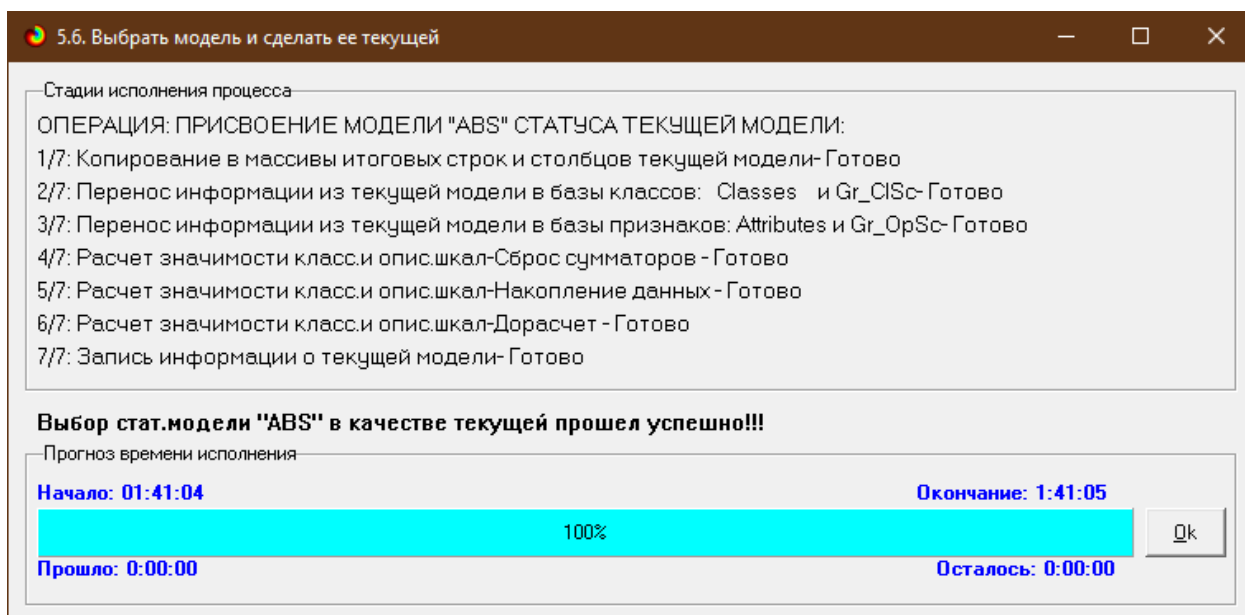
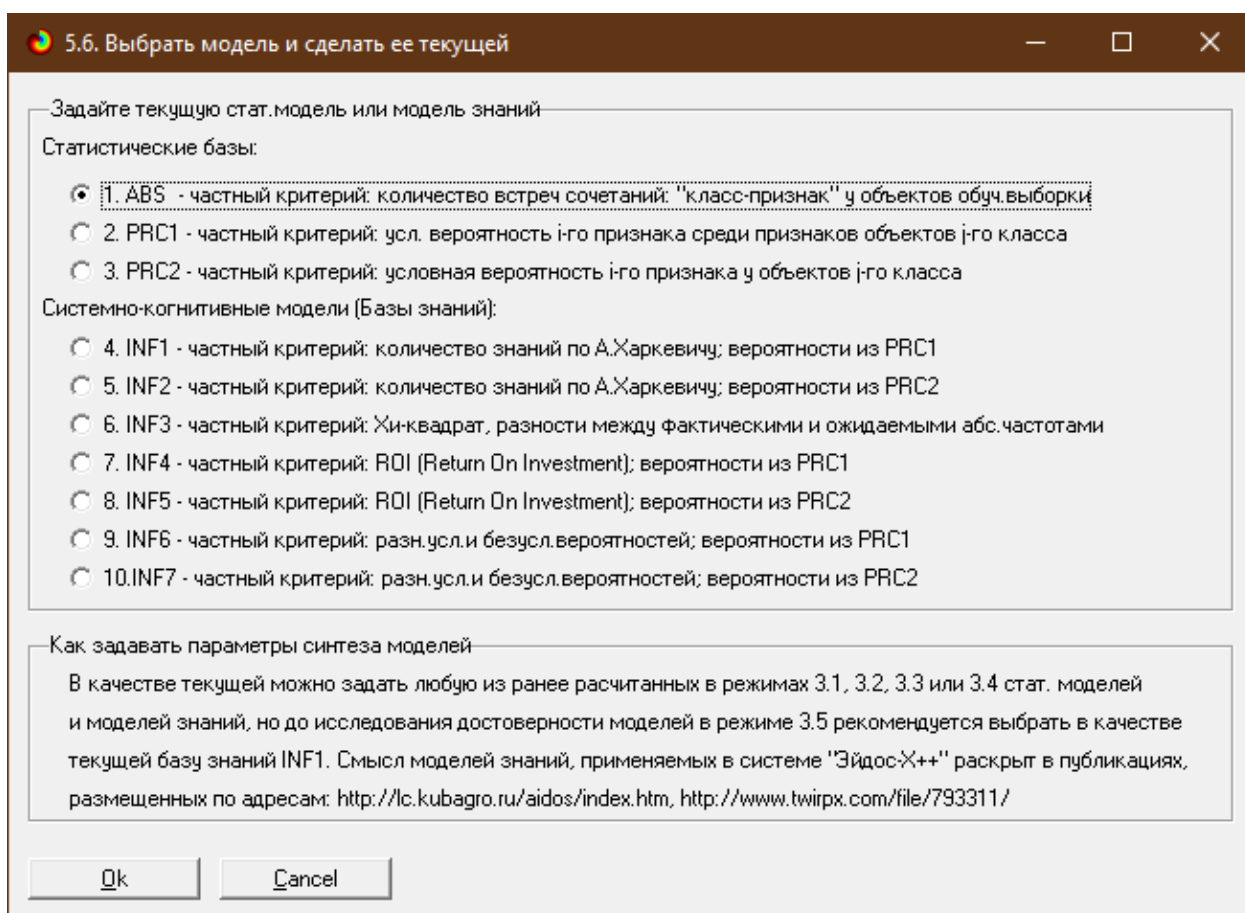


Рисунок 15 - Экранные формы режима задания модели в качестве текущей

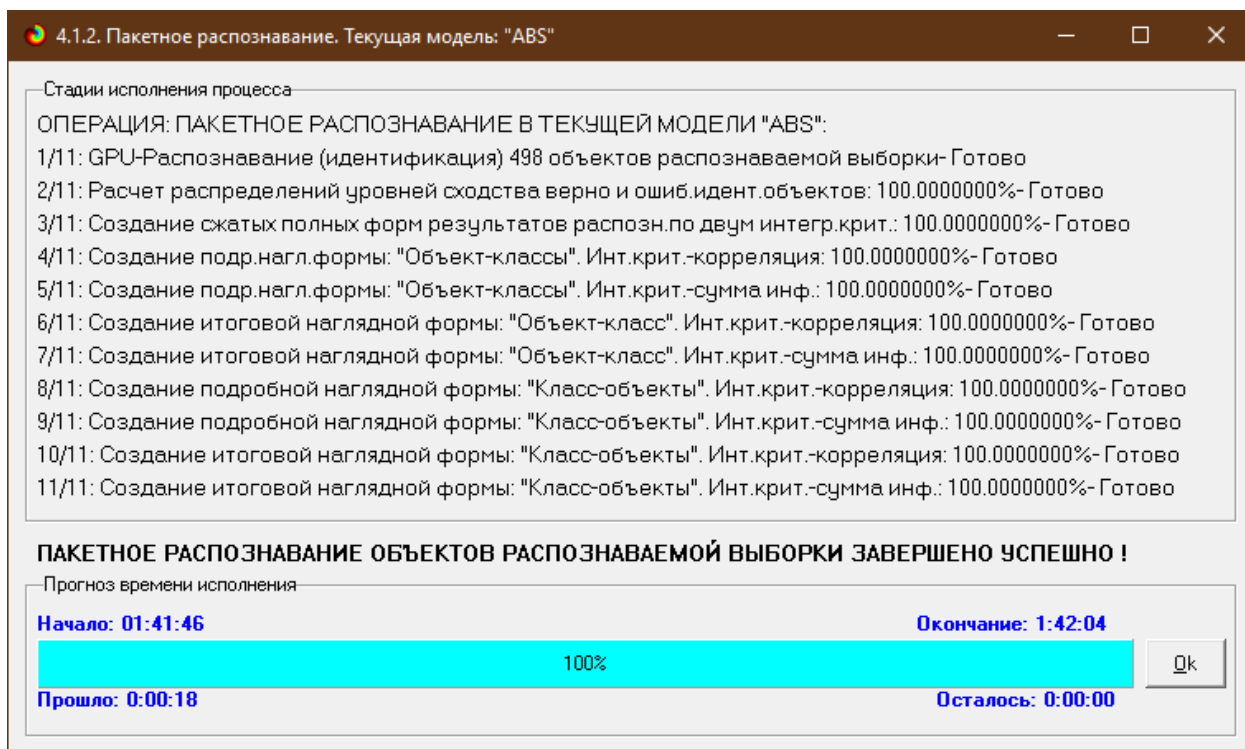


Рисунок 16 - Экранная форма режима пакетного распознавания в текущей модели

В результате пакетного распознавания в текущей модели создается ряд баз данных, которые визуализируются в выходных экранных формах, отражающих результаты решения задачи идентификации и прогнозирования.

Режим 4.1.3 системы Aidos-X обеспечивает отображение результатов идентификации и прогнозирования в различных формах:

1. Подробно наглядно: "Объект – классы".
2. Подробно наглядно: "Класс – объекты".
3. Итоги наглядно: "Объект – классы".
4. Итоги наглядно: "Класс – объекты".
5. Подробно сжато: "Объект – классы".
6. Обобщенная форма по достоверности моделей при разных интегральных критериях.
7. Обобщенный статистический анализ результатов идентификации по моделям и интегральным критериям.

8. Статистический анализ результатов идентификации по классам, моделям и интегральным критериям.

9. Распознавание уровня сходства при разных моделях и интегральных критериях.

10. Достоверность идентификации классов при разных моделях и интегральных критериях.

Ниже кратко рассмотрим некоторые из них.

На рисунках 17 и 18 приведены примеры прогнозов высокой и низкой достоверности частоты объектов и классов в модели ABS на основе наблюдения предыстории их развития:

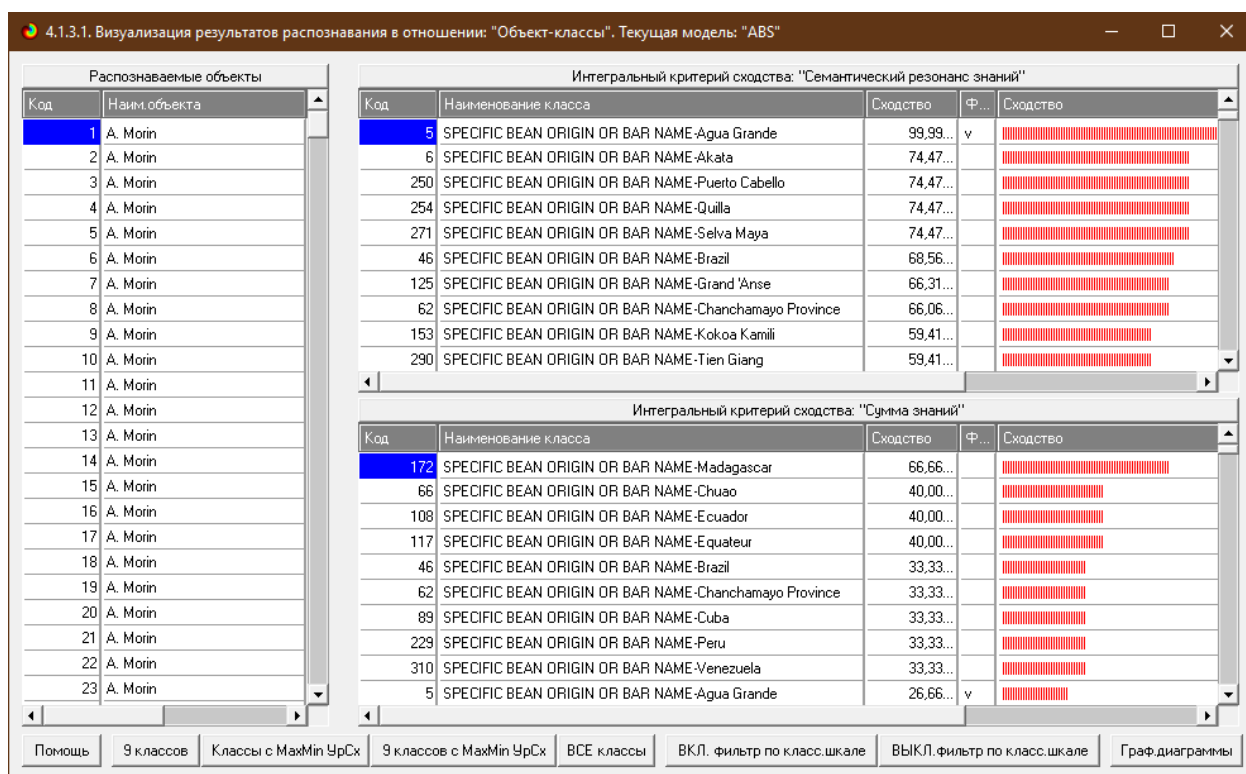


Рисунок 17. Пример идентификации объектов в модели ABS

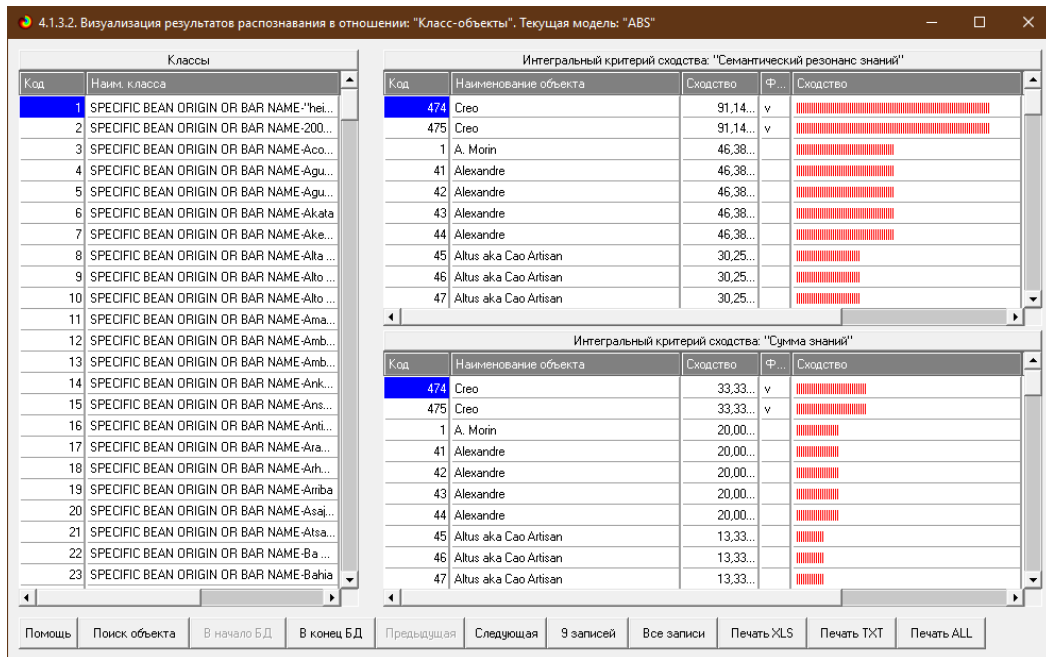


Рисунок 18. Пример идентификации классов в модели ABS

## 2.2. Кластерно-конструктивный анализ

Сходство-различие обобщенных образов различных результатов научной деятельности по характерным для них системам значений показателей. Результаты сравнения классов по системе характерных приведены на рисунке 19:

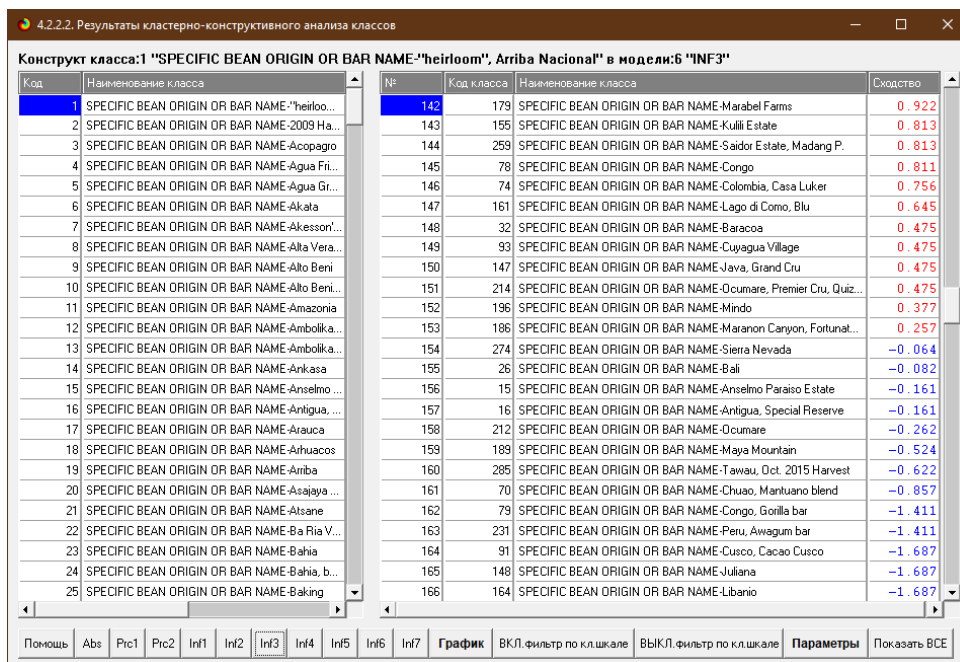


Рисунок 19 - Результаты кластерно-конструктивного анализа классов

На рисунке 20 представлена семантическая сеть классов в модели «INF3».

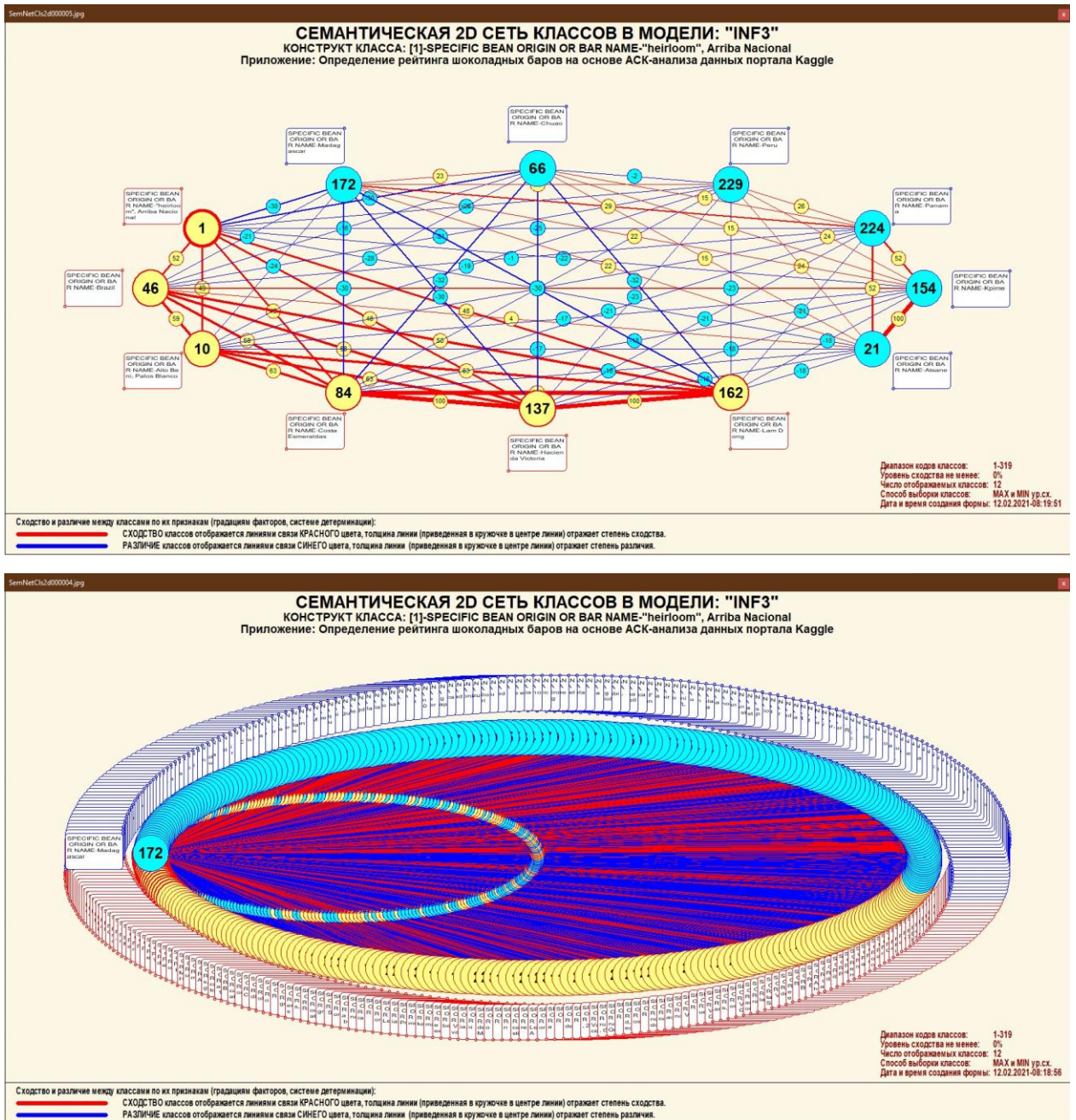


Рисунок 20 - Семантическая 2D сеть классов



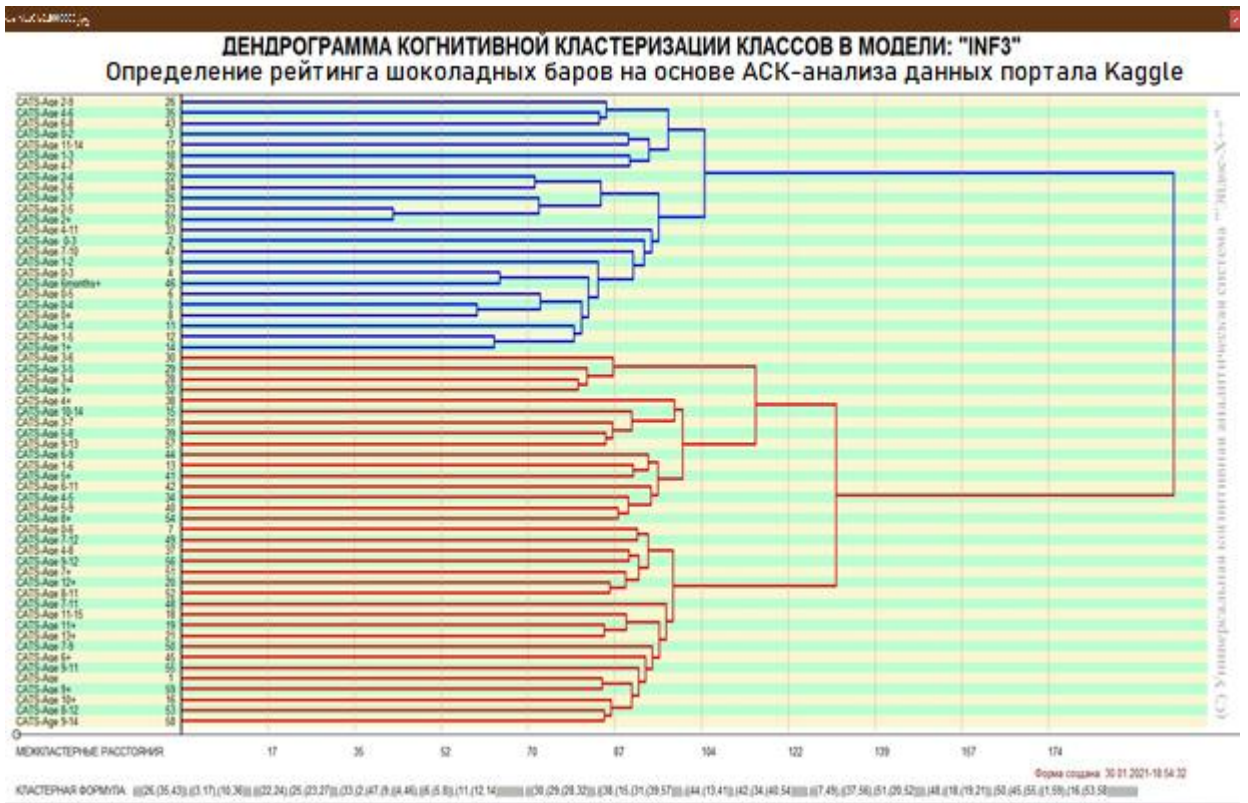


Рисунок 21 – Агломеративная дендрограмма классов

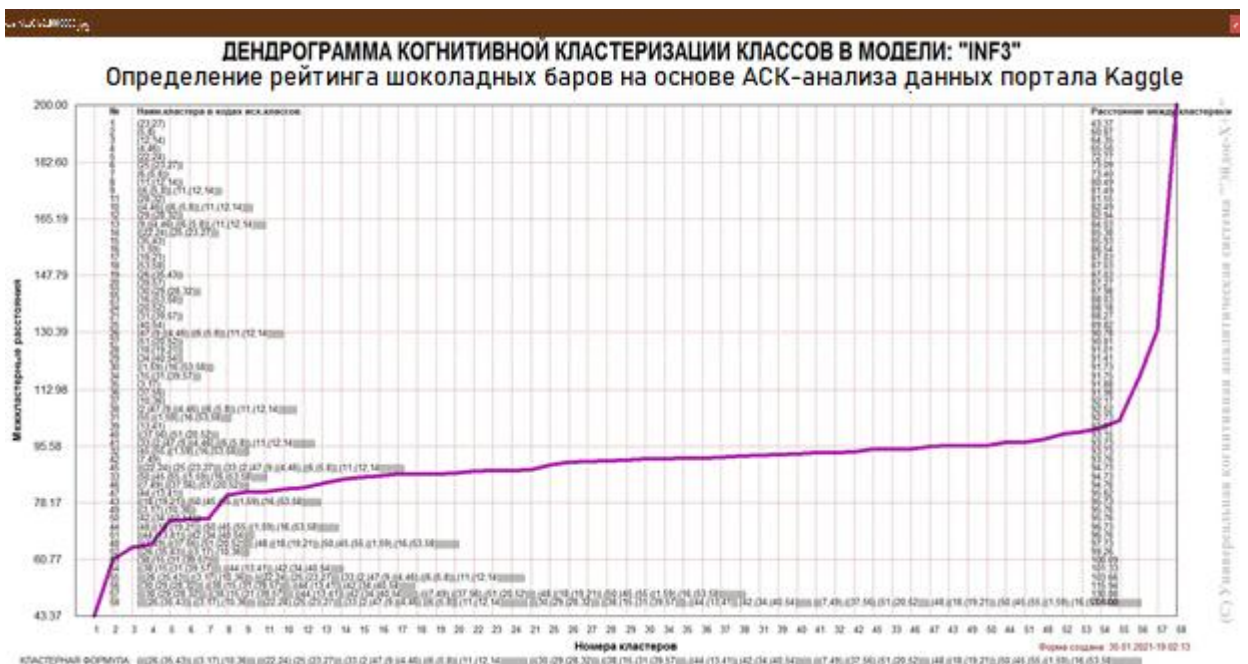


Рисунок 22 – График межкластерных расстояний классов

## 2.3. Нелокальные нейронные сети и нейроны

Каждому классу системно-когнитивной модели соответствует нелокальный нейрон, совокупность которых образует нелокальную нейронную сеть.

Рассмотрим пару примеров, возвращаясь к нашим задачам.

На рисунке 23 изображено графическое отображение нелокальных нейронов в системе Aidos-X

**Выбор нелокального нейрона (класса) для визуализации**

Код	Наименование нелокального нейрона (класса)
1	SPECIFIC BEAN ORIGIN OR BAR NAME-"heirloom", Arriba Nacional
2	SPECIFIC BEAN ORIGIN OR BAR NAME-2009 Hapa Nibby
3	SPECIFIC BEAN ORIGIN OR BAR NAME-Acopagro
4	SPECIFIC BEAN ORIGIN OR BAR NAME-Agua Fria; Sucre region
5	SPECIFIC BEAN ORIGIN OR BAR NAME-Agua Grande
6	SPECIFIC BEAN ORIGIN OR BAR NAME-Akata
7	SPECIFIC BEAN ORIGIN OR BAR NAME-Akesson's E., Sambirano V.
8	SPECIFIC BEAN ORIGIN OR BAR NAME-Alta Verapaz, 2014
9	SPECIFIC BEAN ORIGIN OR BAR NAME-Alto Beni
10	SPECIFIC BEAN ORIGIN OR BAR NAME-Alto Beni

**Подготовка визуализации нейрона:1 "SPECIFIC BEAN ORIGIN OR BAR NAME-"heirloom", Arriba Nacional" в ...**

**АКТИВИРУЮЩИЕ рецепторы и сила их влияния**

Код	Наименование фактора и его интервального значения	Сила влияния
99	COMPANY (MAKER-IF KNOWN)-Crea	1.994
152	REVIEW DATE-10/10-{2015.9000000, 2017.0000000}	1.763
189	RATING-6/10-{3.0000000, 3.4000000}	0.735
190	RATING-7/10-{3.4000000, 3.8000000}	0.497

**ТОРМОЗЯЩИЕ рецепторы и сила их влияния**

Код	Наименование фактора и его интервального значения	Сила влияния
188	RATING-5/10-{2.6000000, 3.0000000}	-0.461
151	REVIEW DATE-9/10-{2014.8000000, 2015.9000000}	-0.229
163	COMPANY LOCATION-France	-0.201
150	REVIEW DATE-8/10-{2013.7000000, 2014.8000000}	-0.192
149	REVIEW DATE-7/10-{2012.6000000, 2013.7000000}	-0.156
146	REVIEW DATE-4/10-{2009.3000000, 2010.4000000}	-0.147
53	COMPANY (MAKER-IF KNOWN)-Cacao	-0.138
187	RATING-4/10-{2.2000000, 2.6000000}	-0.129
145	REVIEW DATE-3/10-{2008.2000000, 2009.3000000}	-0.123
147	REVIEW DATE-5/10-{2010.4000000, 2011.5000000}	-0.114

ВКЛЮЧИТЬ фильтр по фактору    ВЫКЛЮЧИТЬ фильтр по фактору

Помощь    Abs    Prc1    Prc2    Inf1    Inf2    Inf3    Inf4    Inf5    Inf6    Inf7

**НЕЙРОН**    Максимальное количество отображаемых рецепторов: 999    Минимальный вес коэф. отображаемых рецепторов: 0,000

Сортировать рецепторы:  по информативности     по модулю информативности

Отображать рецепторы:  с наименованиями     только с кодами

Рисунок 24 - Графическое отображение нелокальных нейронов в системе Aidos-X

Для каждого технологического фактора в соответствии с предложенной моделью определяется величина и направление его влияния на осуществление всех желаемых и не желаемых хозяйственных ситуаций. Для каждой ситуации эта информация отображается в различных текстовых и

графических формах, в частности в форме нелокального нейрона (рисунок 25). На данной диаграмме цвет линии означает знак связи (красный – положительная, синий – отрицательная), а толщина – ее модуль.

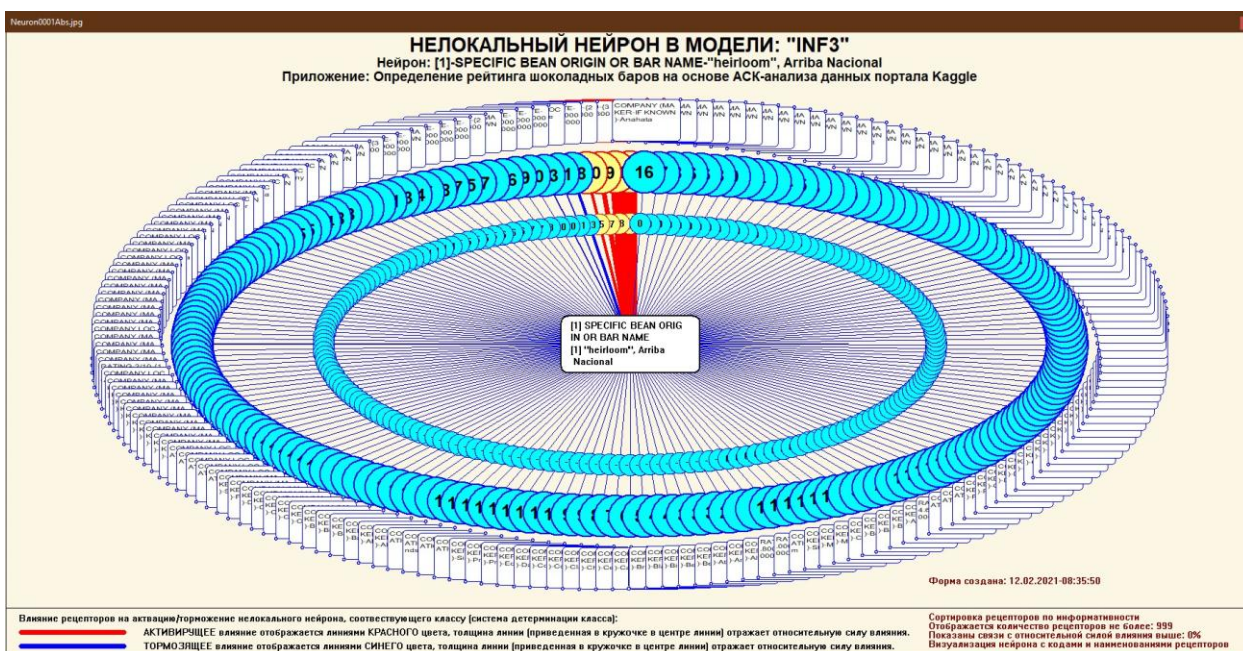


Рисунок 25 - Нелокальный нейрон в модели "INF3"

Дополнение модели нейрона связями факторов позволяет построить классическую когнитивную карту ситуации (будущего состояния АОУ). Детальная внутренняя структура любой связи отображается в форме инвертированной когнитивной диаграммы (рисунок 26). Необходимо отметить, что все указанные графические формы генерируются системой Aidos-X автоматически в соответствии с созданной моделью [9].

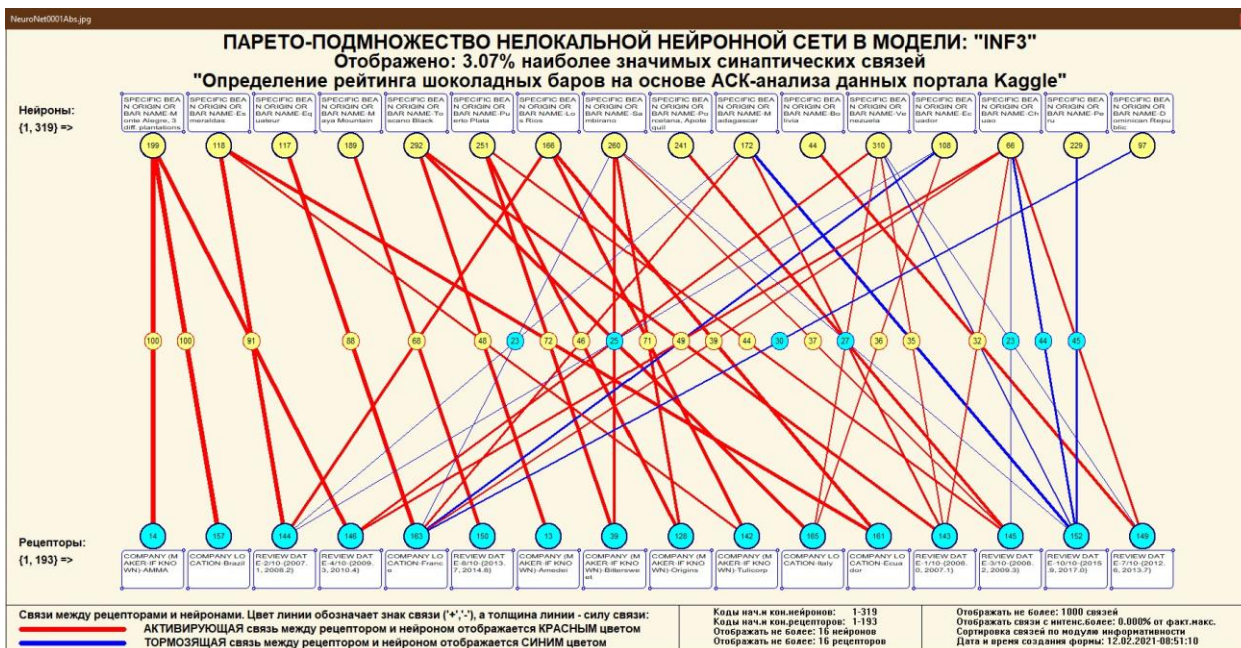


Рисунок 26 - Паретто – подмножество нелокальной нейронной сети

## 2.4. SWOT и PEST матрицы и диаграммы

SWOT-анализ является широко известным и общепризнанным методом стратегического планирования. Однако это не мешает тому, что он подвергается критике, часто вполне справедливой, обоснованной и хорошо аргументированной. В результате критического рассмотрения SWOT анализа выявлено довольно много его слабых сторон (недостатков), источником которых является необходимость привлечения экспертов, в частности для оценки силы и направления влияния факторов. Ясно, что эксперты это делают не формализуемым путем (интуитивно), на основе своего профессионального опыта и компетенции. Но возможности экспертов имеют свои ограничения и часто по различным причинам они не могут и не хотят это сделать. Таким образом, возникает проблема проведения SWOT анализа без привлечения экспертов. Эта проблема может решаться путем автоматизации функций экспертов, т.е. путем измерения силы и направления влияния факторов непосредственно на основе эмпирических данных. Подобная технология разработана давно, ей уже около 30 лет, но она малоизвестна – это интеллектуальная система Aidos-X. Данная система

всегда обеспечивала возможность проведения количественного автоматизированного SWOT-анализа без использования экспертных оценок непосредственно на основе эмпирических данных. Результаты SWOT-анализа выводились в форме информационных портретов. В версии системы под MS Windows: Aidos-X++ предложено автоматизированное количественное решение прямой и обратной задач SWOT-анализа с построением традиционных SWOT-матриц и диаграмм (рисунок 27).

На рисунке 28 приведен пример табличной выходной формы количественного автоматизированного SWOT- и PEST- анализа средствами системы Aidos.

4.4.8. Количественный автоматизированный SWOT-анализ классов средствами АСК-анализа в системе "Эйдос"

**Выбор класса, соответствующего будущему состоянию объекта управления**

Код	Наименование класса	Редукция клас...	N объектов (абс.)	N объектов (%)
1	SPECIFIC BEAN ORIGIN OR BAR NAME-"heirloom", Arriba Nacional	0,2260793	6	0,0000000
2	SPECIFIC BEAN ORIGIN OR BAR NAME-2009 Hapa Nibby	0,1428340	4	0,0000000
3	SPECIFIC BEAN ORIGIN OR BAR NAME-Acopagro	0,1428340	4	0,0000000
4	SPECIFIC BEAN ORIGIN OR BAR NAME-Agua Fria; Sucre region	0,1592702	5	0,0000000
5	SPECIFIC BEAN ORIGIN OR BAR NAME-Agua Grande	0,1428340	4	0,0000000
6	SPECIFIC BEAN ORIGIN OR BAR NAME-Akata	0,1428340	4	0,0000000

**SWOT-анализ класса:1 "SPECIFIC BEAN ORIGIN OR BAR NAME-"heirloom", Arriba Nacional" в модели:6 "INF...**

**Способствующие факторы и сила их влияния**

Код	Наименование фактора и его интервального значения	Сила влияния
99	COMPANY (MAKER-IF KNOWN)-Creo	1.994
152	REVIEW DATE-10/10-(2015.9000000, 2017.0000000)	1.763
189	RATING-6/10-(3.0000000, 3.4000000)	0.739
190	RATING-7/10-(3.4000000, 3.8000000)	0.497

**Препятствующие факторы и сила их влияния**

Код	Наименование фактора и его интервального значения	Сила влияния
188	RATING-5/10-(2.6000000, 3.0000000)	-0.461
151	REVIEW DATE-9/10-(2014.8000000, 2015.9000000)	-0.225
163	COMPANY LOCATION-France	-0.201
150	REVIEW DATE-8/10-(2013.7000000, 2014.8000000)	-0.192
149	REVIEW DATE-7/10-(2012.6000000, 2013.7000000)	-0.156
146	REVIEW DATE-4/10-(2009.3000000, 2010.4000000)	-0.147
53	COMPANY (MAKER-IF KNOWN)-Cacao	-0.138
187	RATING-4/10-(2.2000000, 2.6000000)	-0.129
145	REVIEW DATE-3/10-(2008.2000000, 2009.3000000)	-0.123
147	REVIEW DATE-5/10-(2010.4000000, 2011.5000000)	-0.114
148	REVIEW DATE-6/10-(2011.5000000, 2012.6000000)	-0.102
75	COMPANY (MAKER-IF KNOWN)-Chocolate	-0.102
144	REVIEW DATE-2/10-(2007.1000000, 2008.2000000)	-0.099
143	REVIEW DATE-1/10-(2006.0000000, 2007.1000000)	-0.099

ВКЛЮЧИТЬ фильтр по фактору    ВКЛЮЧИТЬ фильтр по фактору    ВКЛЮЧИТЬ фильтр по фактору    ВКЛЮЧИТЬ фильтр по фактору

Помощь    Abs    Prc1    Prc2    Inf1    Inf2    Inf3    Inf4    Inf5    Inf6    Inf7    SWOT-диаграмма

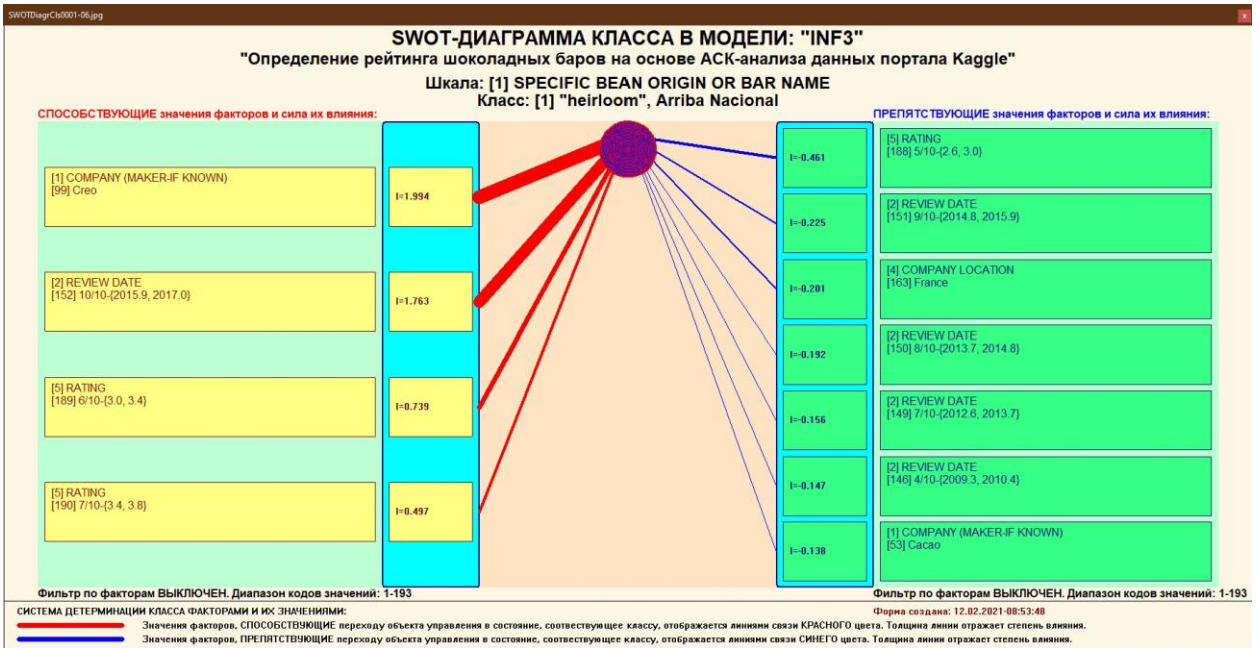


Рисунок 27 - Пример SWOT-матрицы в модели INF3

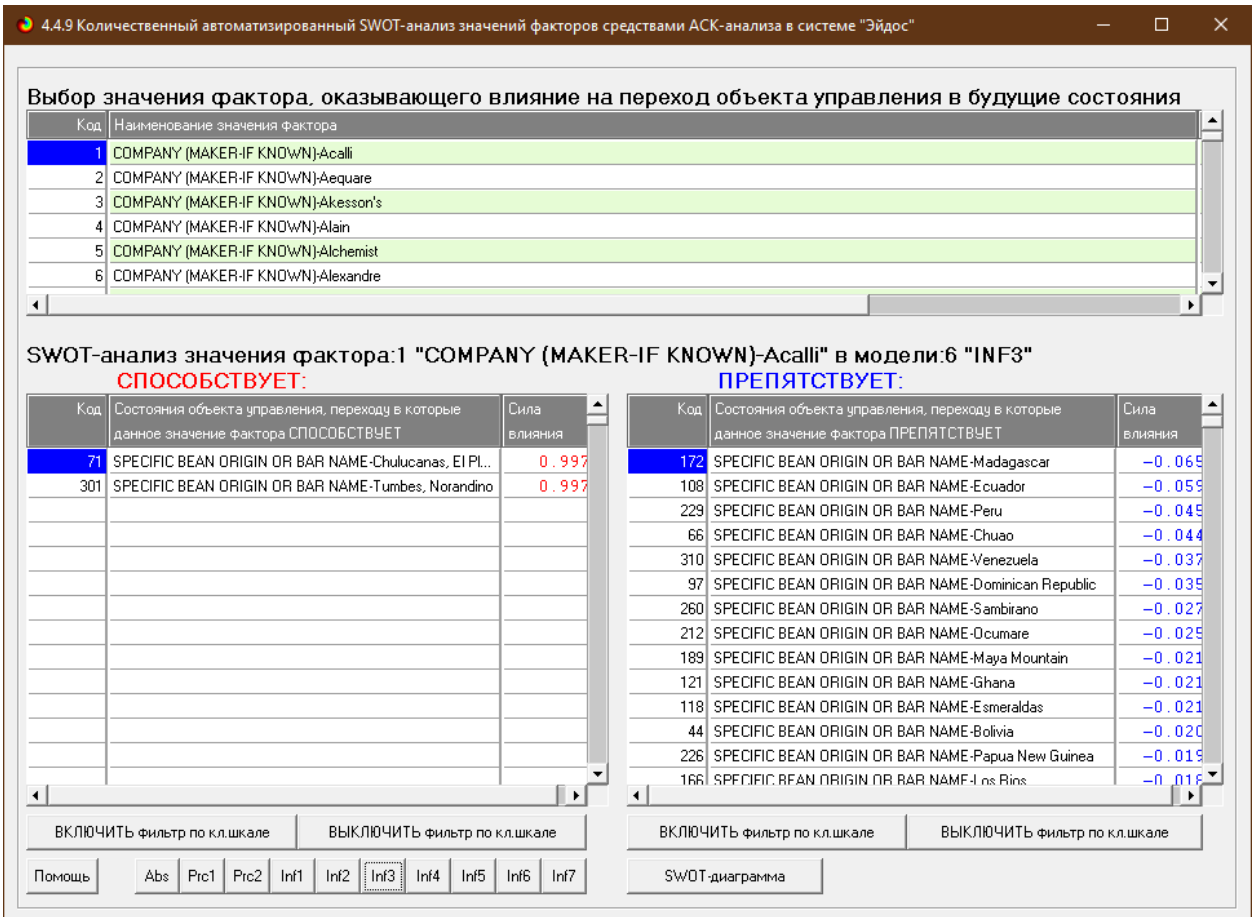


Рисунок 28 - Табличная выходная форма количественного автоматизированного SWOT- и PEST- анализа средствами системы Aidos

На рисунке 29 приведен пример графической выходной формы количественного автоматизированного SWOT- и PEST- анализа средствами системы Aidos.

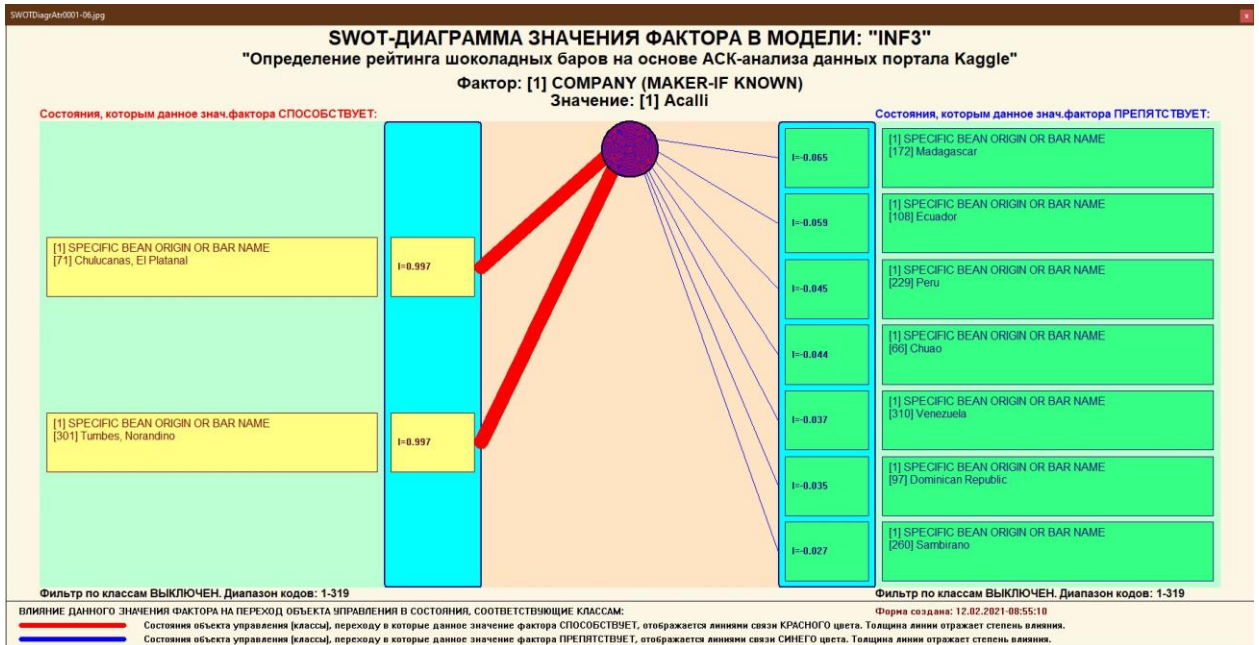


Рисунок 29 - Графическая выходная форма количественного автоматизированного SWOT- и PEST-анализа средствами системы Aidos

## ЗАКЛЮЧЕНИЕ

Так как существует множество систем искусственного интеллекта, то возникает необходимость сопоставимой оценки качества их математических моделей. Одним из вариантов решения этой задачи является тестирование различных системы на общей базе исходных данных, для чего очень удобно использовать общедоступную электронную базу Kaggle.

Сверхзадачей искусственного интеллекта является построение компьютерной интеллектуальной системы, которая обладала бы уровнем эффективности решений неформализованных задач, сравнимым с человеческим или превосходящим его.

Самую существенную часть систем искусственного интеллекта составляют экспертные системы. Экспертная система обычно определяется как программа ЭВМ, моделирующая действия эксперта человека при решении задач в узкой предметной области: составление базы знаний и накопления их.

В данной курсовой работе было показано построение модели определения рейтинга шоколадных баров с помощью искусственного интеллекта "Aidos-X++" с использованием общедоступной базы данных «Highly Rated Children Books And Stories». При этом наиболее достоверной в данном приложении оказалась модель INF5, основанная на семантической мере целесообразности информации А.Харкевича при интегральном критерии «Сумма знаний». Точность модели составляет 0,725, что заметно выше, чем достоверность экспертных оценок, которая считается равной около 49,4%.

АСК-анализ текстов позволяет:

- формировать обобщенные лингвистические образы классов (семантические ядра) на основе фрагментов или примеров относящихся к ним текстов на любом языке;



- количественно сравнивать лингвистический образ конкретного человека, или описание объекта, процесса с обобщенными лингвистическими образами групп (классов);
- сравнивать обобщенные лингвистические образы классов друг с другом и создавать их кластеры и конструкты;
- исследовать моделируемую предметную область путем исследования ее лингвистической системно-когнитивной модели;
- проводить интеллектуальную атрибуцию текстов, т.е. определять вероятное авторство анонимных и псевдонимных текстов, датировку, жанр и смысловую направленность содержания текстов;
- все это можно делать для любого естественного или искусственного языка или системы кодирования.

## СПИСОК ИСПОЛЬЗУЕМЫХ ИСТОЧНИКОВ

1. Луценко Е.В. Синтез адаптивных интеллектуальных измерительных систем с применением АСК-анализа и системы «Эйдос» и системная идентификация в эконометрике, биометрии, экологии, педагогике, психологии и медицине / Е.В. Луценко // Политематический сетевой электронный научный журнал Кубанского государственного аграрного университета (Научный журнал КубГАУ) [Электронный ресурс]. – Краснодар: КубГАУ, 2016. – №02(116). С. 1 – 60. – IDA [article ID]: 1161602001. – Режим доступа: <http://ej.kubagro.ru/2016/02/pdf/01.pdf>, 3,75 у.п.л.3.

2. Луценко Е.В. АСК-анализ, моделирование и идентификация живых существ на основе их фенотипических признаков / Е.В. Луценко, Ю.Н. Пенкина // Политематический сетевой электронный научный журнал Кубанского государственного аграрного университета (Научный журнал КубГАУ) [Электронный ресурс]. – Краснодар: КубГАУ, 2014. – №06(100). С. 1346 – 1395. – IDA [article ID]: 1001406090. – Режим доступа: <http://ej.kubagro.ru/2014/06/pdf/90.pdf>, 3,125 у.п.л.

3. Луценко Е.В. Автоматизированный системно-когнитивный анализ в управлении активными объектами (системная теория информации и ее применение в исследовании экономических, социально-психологических, технологических и организационно-технических систем): Монография (научное издание). – Краснодар: КубГАУ. 2002. – 605 с.

4. [Электронный ресурс]. Статья "Emergency – 911 Calls": <https://www.kaggle.com/mchirico/montcoalert>, свободный. - Загл. сэкрана. Яз.анг.

5. Сайт профессора Е.В.Луценко [Электронный ресурс]. Режим доступа: <http://lc.kubagro.ru/>, свободный. - Загл. с экрана. Яз.рус.

6. Луценко Е.В. Количественная оценка степени манипулирования индексом Хирша и его модификация, устойчивая к манипулированию / Е.В. Луценко, А.И. Орлов // Политематический сетевой электронный научный журнал Кубанского государственного аграрного университета (Научный журнал КубГАУ) [Электронный ресурс]. – Краснодар: КубГАУ, 2016. – №07(121). С. 202 – 234. – IDA [article ID]: 1211607005. – Режим доступа: <http://ej.kubagro.ru/2016/07/pdf/05.pdf>, 2,062 у.п.л.. <http://dx.doi.org/10.21515/1990-4665-121-0057>.

7. Луценко Е.В. Универсальная когнитивная аналитическая система «Эйдос- X++» / Е.В. Луценко // Политематический сетевой электронный научный журнал Кубанского государственного аграрного университета (Научный журнал КубГАУ) [Электронный ресурс]. – Краснодар: КубГАУ, 2012. – №09(083). С. 328 – 356. – IDA [article ID]: 0831209025. – Режим доступа: <http://ej.kubagro.ru/2012/09/pdf/25.pdf>, 1,812 у.п.л.

8. Луценко Е.В. Системная теория информации и нелокальные интерпретируемые нейронные сети прямого счета / Е.В. Луценко // Политематический сетевой электронный научный журнал Кубанского государственного аграрного университета (Научный журнал КубГАУ) [Электронный ресурс]. – Краснодар: КубГАУ, 2003. – №01(001). С. 79 – 91. – IDA [article ID]: 0010301011. – Режим доступа: <http://ej.kubagro.ru/2003/01/pdf/11.pdf>, 0,812 у.п.л.

9. Луценко Е.В. Синтез семантических ядер научных специальностей ВАК РФ и автоматическая классификации статей по научным специальностям с применением АСК-анализа и интеллектуальной системы «Эйдос» (на примере Научного журнала КубГАУ и его научных специальностей: механизации, агрономии и ветеринарии) / Е.В. Луценко, Н.В. Андрафанова, Н.В. Потапова // Политематический сетевой электронный научный журнал Кубанского государственного аграрного университета (Научный журнал КубГАУ) [Электронный ресурс]. – Краснодар: КубГАУ, 2019. – №01(145). С. 31 – 102. – IDA [article ID]: 1451901033. – Режим доступа: <http://ej.kubagro.ru/2019/01/pdf/33.pdf>, 4,5 у.п.л.

10. Луценко Е.В. Формирование семантического ядра ветеринарии путем Автоматизированного системно-когнитивного анализа паспортов научных специальностей ВАК РФ и автоматическая классификация текстов по направлениям науки / Е.В. Луценко // Политематический сетевой электронный научный журнал Кубанского государственного аграрного университета (Научный журнал КубГАУ) [Электронный ресурс]. – Краснодар: КубГАУ, 2018. – №10(144). С. 44 – 102. – IDA [article ID]: 1441810033. – Режим доступа: <http://ej.kubagro.ru/2018/10/pdf/33.pdf>, 3,688 у.п.л.
11. Луценко Е.В. Интеллектуальная привязка некорректных ссылок к литературным источникам в библиографических базах данных с применением АСК-анализа и системы «Эйдос» (на примере Российского индекса научного цитирования – РИНЦ) / Е.В. Луценко, В.А. Глухов // Политематический сетевой электронный научный журнал Кубанского государственного аграрного университета (Научный журнал КубГАУ) [Электронный ресурс]. – Краснодар: КубГАУ, 2017. – №01(125). С. 1 – 65. – IDA [article ID]: 1251701001. – Режим доступа: <http://ej.kubagro.ru/2017/01/pdf/01.pdf>, 4,062 у.п.л.
12. Луценко Е.В. Применение АСК-анализа и интеллектуальной системы "Эйдос" для решения в общем виде задачи идентификации литературных источников и авторов по стандартным, нестандартным и некорректным библиографическим описаниям / Е.В. Луценко // Политематический сетевой электронный научный журнал Кубанского государственного аграрного университета (Научный журнал КубГАУ) [Электронный ресурс]. – Краснодар: КубГАУ, 2014. – №09(103). С. 498 – 544. – IDA [article ID]: 1031409032. – Режим доступа: <http://ej.kubagro.ru/2014/09/pdf/32.pdf>, 2,938 у.п.л.
13. Луценко Е.В. АСК-анализ проблематики статей Научного журнала КубГАУ в динамике / Е.В. Луценко, В.И. Лойко // Политематический сетевой электронный научный журнал Кубанского государственного аграрного университета (Научный журнал КубГАУ) [Электронный ресурс]. – Краснодар: КубГАУ, 2014. – №06(100). С. 109 – 145. – IDA [article ID]: 1001406007. – Режим доступа: <http://ej.kubagro.ru/2014/06/pdf/07.pdf>, 2,312 у.п.л.
14. Луценко Е.В. Атрибуция анонимных и псевдонимных текстов в системно-когнитивном анализе / Е.В. Луценко // Политематический сетевой электронный научный журнал Кубанского государственного аграрного университета (Научный журнал КубГАУ) [Электронный ресурс]. – Краснодар: КубГАУ, 2004. – №03(005). С. 44 – 64. – IDA [article ID]: 0050403003. – Режим доступа: <http://ej.kubagro.ru/2004/03/pdf/03.pdf>, 1,312 у.п.л.
15. Луценко Е.В. Атрибуция текстов, как обобщенная задача идентификации и прогнозирования / Е.В. Луценко // Политематический сетевой электронный научный журнал Кубанского государственного аграрного университета (Научный журнал КубГАУ) [Электронный ресурс]. – Краснодар: КубГАУ, 2003. – №02(002). С. 146 – 164. – IDA [article ID]: 0020302013. – Режим доступа: <http://ej.kubagro.ru/2003/02/pdf/13.pdf>, 1,188 у.п.л.
16. Луценко Д.С., Луценко Е.В. Интеллектуальная датировка текста, определение авторства и жанра на примере русской литературы XIX и XX веков, 2020 // Статья в открытом архиве. 38 с. – DOI: [10.13140/RG.2.2.28824.01281](https://www.elibrary.ru/item.asp?id=43796415), <https://www.elibrary.ru/item.asp?id=43796415>
17. Lutsenko D.S., Lutsenko E.V. Intellectual attribution of literary texts (finding the dates of the text, determining authorship and genre on the example of russian literature of the XIX and XX centuries), 2020 // Статья в открытом архиве. 9 р. – DOI: [10.13140/RG.2.2.15349.81122](https://www.elibrary.ru/item.asp?id=43794562), <https://www.elibrary.ru/item.asp?id=43794562>